

## บทที่ 4

### ผลการทดลอง

การพัฒนาระบบ Depuration เพื่อลดการปนเปื้อนของแบคทีเรียได้แก่ *E. coli*, *V. cholerae* และ *V. parahaemolyticus* และโลหะหนัก ได้แก่ Hg, Cd, Pb, Cu, Fe และ Zn ที่ปนเปื้อนในหอยนางรมปากจีบ โดยใช้ระบบ Depuration ที่ออกแบบโดยใช้รังสีอัลตราไวโอเลต ในการลดเชื้อแบคทีเรีย และระบบกรองที่สามารถดักจับโลหะหนักที่หอยนางรมปลดปล่อยออกมา กับมวลน้ำ ทำการศึกษาเป็นเวลา 4 วัน ผลการทดลองแบ่งออกเป็น 4 ขั้นตอน ได้แก่

1. การเปรียบเทียบประสิทธิภาพของหลอดอัลตราไวโอเลตในการลดเชื้อแบคทีเรียที่เติมลงในมวลน้ำที่อัตราการไหลงของน้ำ 3 และ 6 ลิตรต่อน้ำที่
2. การทดสอบระบบกรองค่าประสิทธิภาพของหลอดอัลตราไวโอเลตในการลดเชื้อแบคทีเรียที่เติมลงในมวลน้ำ
3. การทดสอบระบบ Depuration ในการลดการปนเปื้อนเชื้อแบคทีเรียและโลหะหนัก ในหอยนางรมปากจีบ
4. การปรับปรุงระบบ โดยทำการจัดการกับตะกอนที่เกิดจากการที่หอยภายในหอยมีภูมิคุ้มกัน นำข้อมูลที่ได้ในแต่ละขั้นตอนมาทำการเปรียบเทียบกัน โดยทำการคำนวณร้อยละของการเปลี่ยนแปลงในแต่ละชั่วโมง ซึ่งการเปรียบเทียบแบ่งออกเป็น 3 ส่วนดังนี้
  - ส่วนที่ 1 เปรียบเทียบประสิทธิภาพของหลอดอัลตราไวโอเลตในการลดเชื้อแบคทีเรียที่เติมลงในมวลน้ำที่อัตราการไหลงของน้ำ 3 และ 6 ลิตรต่อน้ำที่
  - ส่วนที่ 2 เปรียบเทียบประสิทธิภาพของหลอดอัลตราไวโอเลตในการลดเชื้อแบคทีเรียที่เติมลงในมวลน้ำของระบบที่ไม่มีระบบกรองกับระบบที่มีระบบกรองโลหะหนัก
  - ส่วนที่ 3 เปรียบเทียบการลดการปนเปื้อนเชื้อแบคทีเรียและโลหะหนักในหอยนางรมปากจีบในระบบ Depuration ที่ไม่มีการปรับปรุงระบบกับระบบที่มีการปรับปรุง โดยทำการจัดการกับตะกอนที่หอยภายในหอยมีภูมิคุ้มกัน โดยในแต่ละขั้นตอนมีผลการศึกษาดังนี้

## 4.1 การเปรียบเทียบประสิทธิภาพของหลอดอัลตราไวโอลे�ตในการลดเชื้อแบคทีเรียที่เติมลงในมวลน้ำที่อัตราการไหลดของน้ำ 3 และ 6 ลิตรต่อน้ำที่

ค่าเฉลี่ยปริมาณ *E. coli*, *V. cholerae* และ *V. parahaemolyticus* ในมวลน้ำที่อัตราการไหลดของน้ำ 3 และ 6 ลิตรต่อน้ำที่ในแต่ละช่วงเวลาที่ทำการศึกษา แสดงในตารางที่ 1 (ภาคผนวก) มีผลการศึกษาดังนี้

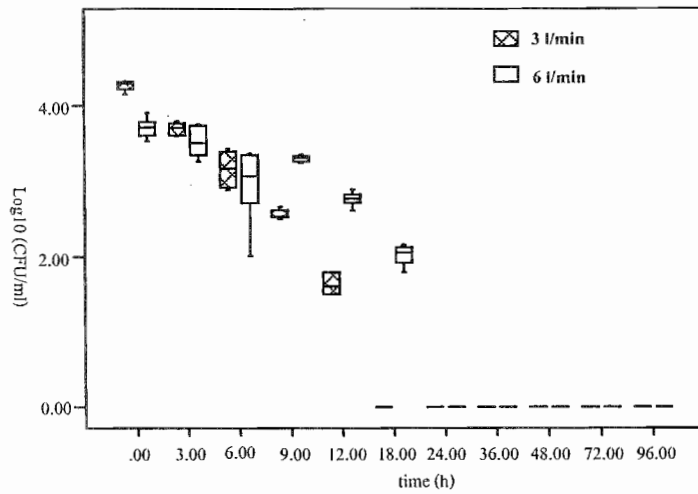
### 4.1.1 ปริมาณ *E. coli*

ที่อัตราการไหลดของน้ำ 3 ลิตรต่อน้ำที่ มีค่าเฉลี่ยเริ่มต้นเท่ากับ  $1.83 \times 10^4 \pm 0.27 \times 10^4$  โคลoniต่อ ml ลิตร เมื่อมวลน้ำผ่านเข้าสู่ระบบพบว่าปริมาณ *E. coli* มีการลดลงเรื่อยๆ จนไม่สามารถตรวจพบได้ในชั่วโมงที่ 18 (ภาพที่ 4-1)

เมื่อทำการเปรียบเทียบปริมาณ *E. coli* ที่อัตราการไหลด 3 ลิตรต่อน้ำที่ พบว่าเวลาที่ทำการศึกษามีผลต่อปริมาณ *E. coli* อย่างมีนัยสำคัญทางสถิติ ( $P < 0.05$ ) (ตารางที่ 4-1) โดยพบว่า มีค่าสูงสุดในชั่วโมงที่ 0, รองลงมาคือชั่วโมงที่ 3, รองลงมาคือชั่วโมงที่ 6, รองลงมาคือชั่วโมงที่ 9, รองลงมาคือชั่วโมงที่ 12, และมีค่าต่ำสุดในชั่วโมงที่ 18, 24, 36, 48, 72 และ 96 โดยค่าเฉลี่ยในกลุ่มเดียวกันไม่ต่างกัน

ที่อัตราการไหลดของน้ำ 6 ลิตรต่อน้ำที่ มีค่าเฉลี่ยเริ่มต้นเท่ากับ  $5.32 \times 10^3 \pm 1.66 \times 10^3$  โคลoniต่อ ml ลิตร เมื่อมวลน้ำผ่านเข้าสู่ระบบพบว่าปริมาณ *E. coli* มีการลดลงใน 6 ชั่วโมงแรก แล้วจึงเพิ่มขึ้นอีกในชั่วโมงที่ 9 หลังจากนั้นจึงลดลงเรื่อยๆ จนไม่สามารถตรวจพบได้ในชั่วโมงที่ 36 (ภาพที่ 4-1)

เมื่อทำการเปรียบเทียบปริมาณ *E. coli* ที่อัตราการไหลด 6 ลิตรต่อน้ำที่ พบว่าเวลาที่ทำการศึกษามีผลต่อปริมาณ *E. coli* อย่างมีนัยสำคัญทางสถิติ ( $P < 0.05$ ) (ตารางที่ 4-1) โดยพบว่า มีค่าสูงสุดในชั่วโมงที่ 0 และ 3, รองลงมาคือชั่วโมงที่ 3 และ 9, รองลงมาคือชั่วโมงที่ 6 และ 12, รองลงมาคือชั่วโมงที่ 18, และมีค่าต่ำสุดในชั่วโมงที่ 24, 36, 48, 72 และ 96 และพบว่าในชั่วโมงที่ 0 ไม่ต่างกับชั่วโมงที่ 3 แต่ต่างจากชั่วโมงที่ 9

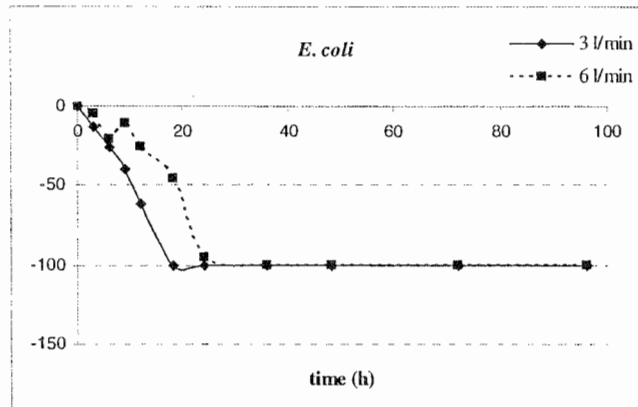


ภาพที่ 4-1 ปริมาณ *E. coli* ในมวลน้ำในรูปของ log ที่อัตราการไหลดของน้ำ 3 และ 6 ลิตรต่อนาที เมื่อนำเอาข้อมูลร้อยละของการเปลี่ยนแปลงปริมาณ *E. coli* ในทั้งสองการทดลองมาทำ

เมื่อนำเอาข้อมูลร้อยละของการเปลี่ยนแปลงปริมาณ *E. coli* พบร่วมระหว่างอัตราการไหลดของน้ำและเวลาที่ทำการศึกษามีผลต่อการเปลี่ยนแปลงปริมาณ *E. coli* อย่างมีนัยสำคัญทางสถิติ ( $P<0.05$ ) (ตารางที่ 4-2) กล่าวคือการเปลี่ยนแปลงปริมาณ *E. coli* ในแต่ละอัตราการไหลดของน้ำ จะมีค่าแตกต่างกันในแต่ละเวลาที่ทำการศึกษา โดยพบว่าปริมาณ *E. coli* ในมวลน้ำที่อัตราการไหลดของน้ำ 3 ลิตรต่อนาที มีการลดลงเร็วกว่าที่อัตราการไหลดของน้ำ 6 ลิตรต่อนาที (ภาพที่ 4-2)

เมื่อทำการเปรียบเทียบร้อยละของการเปลี่ยนแปลงปริมาณ *E. coli* ที่อัตราการไหลด 3 ลิตรต่อนาที พบร่วมกับค่าสูงสุดในชั่วโมงที่ 3, รองลงมาคือชั่วโมงที่ 6, รองลงมาคือชั่วโมงที่ 9, รองลงมาคือชั่วโมงที่ 12, และมีค่าต่ำสุดในชั่วโมงที่ 18, 24, 36, 48, 72 และ 96 โดยค่าเฉลี่ยในกลุ่มเดียวกันไม่ต่างกัน

เมื่อทำการเปรียบเทียบร้อยละของการเปลี่ยนแปลงปริมาณ *E. coli* ที่อัตราการไหลด 6 ลิตรต่อนาที พบร่วมกับค่าสูงสุดในชั่วโมงที่ 3 และ 9, รองลงมาคือชั่วโมงที่ 6 และ 12, รองลงมาคือชั่วโมงที่ 18, และมีค่าต่ำสุดในชั่วโมงที่ 24, 36, 48, 72 และ 96 โดยค่าเฉลี่ยในกลุ่มเดียวกันไม่ต่างกัน



ภาพที่ 4-2 ร้อยละของการเปลี่ยนแปลงปริมาณ *E. coli* ในมวลน้ำที่ขึ้นกับปริมาณเริ่มต้นที่อัตราการไหลของน้ำ 3 และ 6 ลิตรต่อนาที

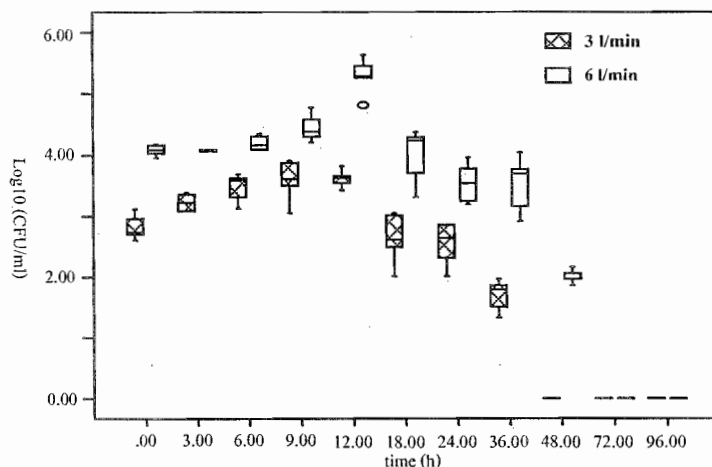
#### 4.1.2 ปริมาณ *V. cholerae*

ที่อัตราการไหลของน้ำ 3 ลิตรต่อนาที มีค่าเฉลี่ยเริ่มต้นเท่ากับ  $7.00 \times 10^2 \pm 3.41 \times 10^2$  โคลoniess ต่อมิลลิลิตร เมื่อมวลน้ำผ่านเข้าสู่ระบบพนว่าปริมาณ *V. cholerae* มีแนวโน้มเพิ่มขึ้นในชั่วโมงที่ 6-12 หลังจากนั้นจึงลดลงจนไม่สามารถตรวจพบได้ในชั่วโมงที่ 48 (ภาพที่ 4-3)

เมื่อทำการเปรียบเทียบปริมาณ *V. cholerae* ที่อัตราการไหล 3 ลิตรต่อนาที พนว่าเวลาที่ทำการศึกษามีผลต่อปริมาณ *V. cholerae* อย่างมีนัยสำคัญทางสถิติ ( $P < 0.05$ ) (ตารางที่ 4-1) โดยพนว่ามีค่าสูงสุดในชั่วโมงที่ 6, 9 และ 12, รองลงมาคือชั่วโมงที่ 3 และ 6, รองลงมาคือชั่วโมงที่ 0, 18 และ 24, รองลงมาคือชั่วโมงที่ 36, และมีค่าต่ำสุดในชั่วโมงที่ 48, 72 และ 96 และพนว่าในชั่วโมงที่ 9 และ 12 ไม่ต่างกันชั่วโมงที่ 6 แต่ต่างจากชั่วโมงที่ 3

ที่อัตราการไหลของน้ำ 6 ลิตรต่อนาที มีค่าเฉลี่ยเริ่มต้นเท่ากับ  $1.21 \times 10^4 \pm 0.23 \times 10^4$  โคลoniess ต่อมิลลิลิตร เมื่อมวลน้ำผ่านเข้าสู่ระบบพนว่าปริมาณเชื้อ *V. cholerae* มีการเพิ่มขึ้นจำนวนในชั่วโมงที่ 12 มีค่าเฉลี่ยเท่ากับ  $2.26 \times 10^5 \pm 1.33 \times 10^5$  โคลoniess ต่อมิลลิลิตร แล้วจึงลดลงเรื่อยๆ จนไม่สามารถตรวจพบได้ในชั่วโมงที่ 96 (ภาพที่ 4-3)

เมื่อทำการเปรียบเทียบปริมาณ *V. cholerae* ที่อัตราการไหล 6 ลิตรต่อนาที พนว่าเวลาที่ทำการศึกษามีผลต่อปริมาณ *V. cholerae* อย่างมีนัยสำคัญทางสถิติ ( $P < 0.05$ ) (ตารางที่ 4-1) โดยพนว่ามีค่าสูงสุดในชั่วโมงที่ 12, รองลงมาคือชั่วโมงที่ 0, 3, 6, 9 และ 18, รองลงมาคือชั่วโมงที่ 24 และ 36, รองลงมาคือชั่วโมงที่ 48, และมีค่าต่ำสุดในชั่วโมงที่ 72 และ 96 โดยค่าเฉลี่ยในกลุ่มเดียวกันไม่ต่างกัน

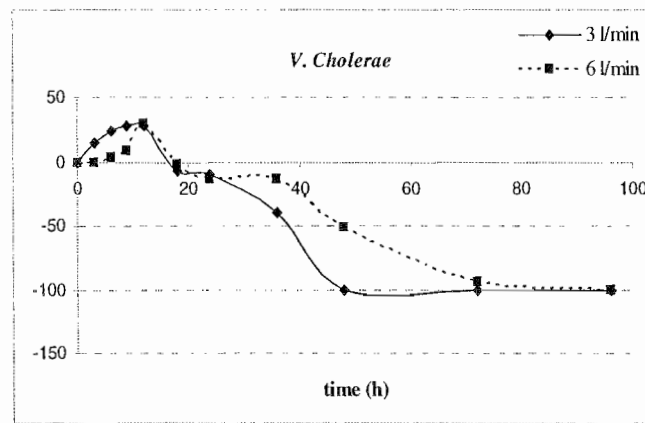


ภาพที่ 4-3 ปริมาณ *V. cholerae* ในรูปของ log ในมวลน้ำที่อัตราการไหลของน้ำ 3 และ 6 ลิตรต่อนาที

เมื่อนำเอาข้อมูลร้อยละของการเปลี่ยนแปลงปริมาณ *V. cholerae* ในทั้งสองการทดลองมาทำการเปรียบเทียบประสิทธิภาพในการลดปริมาณ *V. cholerae* พบร่วมระหว่างอัตราการไหลของน้ำและเวลาที่ทำการศึกษามีผลต่อการเปลี่ยนแปลงปริมาณ *V. cholerae* อย่างมีนัยสำคัญทางสถิติ ( $P<0.05$ ) (ตารางที่ 4-2) และพบว่าความแตกต่างของอัตราการไหลของน้ำไม่มีผลต่อการเปลี่ยนแปลงปริมาณ *V. cholerae* แต่เวลาที่ทำการศึกษามีผลต่อการเปลี่ยนแปลงปริมาณ *V. cholerae* โดยที่อัตราการไหลของน้ำที่ 3 ลิตรต่อนาที มีแนวโน้มลดลงเร็วกว่าที่อัตราการไหลของน้ำ 6 ลิตรต่อนาที (ภาพที่ 4-4)

เมื่อทำการเปรียบเทียบร้อยละของการเปลี่ยนแปลงปริมาณ *V. cholerae* ที่อัตราการไหล 3 ลิตรต่อนาที พบร่วมกับค่าสูงสุดในชั่วโมงที่ 6, 9 และ 12, รองลงมาคือชั่วโมงที่ 3 และ 6, รองลงมาคือชั่วโมงที่ 18 และ 24, รองลงมาคือชั่วโมงที่ 36, และมีค่าต่ำสุดในชั่วโมงที่ 48, 72 และ 96 และพบว่าในชั่วโมงที่ 9 และ 12 ไม่ต่างกับชั่วโมงที่ 6 แต่ต่างจากชั่วโมงที่ 3

เมื่อทำการเปรียบเทียบร้อยละของการเปลี่ยนแปลงปริมาณ *V. cholerae* ที่อัตราการไหล 6 ลิตรต่อนาที พบร่วมกับค่าสูงสุดชั่วโมงที่ 12, รองลงมาคือชั่วโมงที่ 3, 6, 9 และ 18, รองลงมาคือชั่วโมงที่ 3, 18, 24 และ 36, รองลงมาคือชั่วโมงที่ 48, และมีค่าต่ำสุดในชั่วโมงที่ 72 และ 96 และพบว่าในชั่วโมงที่ 6 และ 9 ไม่ต่างกับชั่วโมงที่ 3 และ 18 แต่ต่างจากชั่วโมงที่ 24 และ 36



ภาพที่ 4-4 ร้อยละของการเปลี่ยนแปลงปริมาณ *V. cholerae* ในมวลน้ำเทียบกับปริมาณเริ่มต้นที่อัตราการไหลของน้ำ 3 และ 6 ลิตรต่อนาที

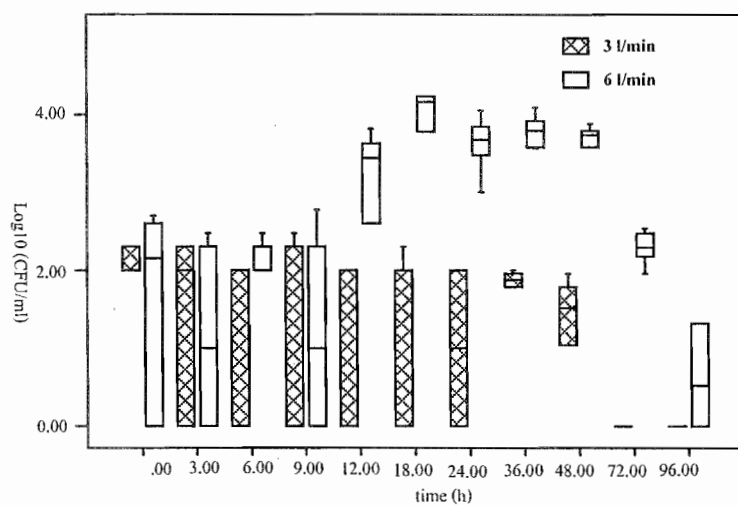
#### 4.1.3 ปริมาณ *V. parahaemolyticus*

ที่อัตราการไหลของน้ำ 3 ลิตรต่อนาที มีค่าเฉลี่ยเริ่มต้นเท่ากับ  $1.16 \times 10^2 \pm 0.75 \times 10^2$  โคลoniess ต่อมิลลิลิตร เมื่อเวลาผ่านเข้าสู่ระบบพบว่าปริมาณ *V. parahaemolyticus* มีปริมาณก้อนข้าง Kong ที่จนถึงชั่วโมงที่ 48 แล้วจึงเริ่มลดลงจนไม่สามารถตรวจพบได้ในชั่วโมงที่ 72 (ภาพที่ 4-5)

เมื่อทำการเปรียบเทียบปริมาณ *V. parahaemolyticus* ที่อัตราการไหล 3 ลิตรต่อนาที พบร่วมหาวลาที่ทำการศึกษามีผลต่อปริมาณ *V. parahaemolyticus* อย่างมีนัยสำคัญทางสถิติ ( $P < 0.05$ ) (ตารางที่ 4-1) โดยพบว่ามีค่าสูงสุดในชั่วโมงที่ 0, 3, 6, 9, 12, 18, 24, 36 และ 48, และมีค่าต่ำสุดในชั่วโมงที่ 3, 6, 9, 12, 18, 24, 48, 72 และ 96 โดยในชั่วโมงที่ 36 ไม่ต่างจากชั่วโมงที่ 0, 3, 6, 9, 12, 18, 24 และ 48 แต่ต่างจากชั่วโมงที่ 72 และ 96

ที่อัตราการไหลของน้ำ 6 ลิตรต่อนาที มีค่าเริ่มต้นเท่ากับ  $2.00 \times 10^2 \pm 2.10 \times 10^2$  โคลoniess ต่อมิลลิลิตร เมื่อเวลาผ่านเข้าสู่ระบบพบว่าปริมาณ *V. parahaemolyticus* มีปริมาณเพิ่มขึ้นในชั่วโมงที่ 12-48 หลังจากนั้นจึงเริ่มลดลงเรื่อยๆ จนถึงชั่วโมงที่ 96 โดยมีค่าเฉลี่ยเท่ากับ  $0.08 \times 10^2 \pm 0.09 \times 10^2$  โคลoniess ต่อมิลลิลิตร (ภาพที่ 4-5)

เมื่อทำการเปรียบเทียบปริมาณ *V. parahaemolyticus* ที่อัตราการไหลด 6 ลิตรต่อน้ำที่พบว่าเวลาที่ทำการศึกษามีผลต่อปริมาณ *V. parahaemolyticus* อ่ายมีนัยสำคัญทางสถิติ ( $P<0.05$ ) (ตารางที่ 4-1) โดยพบว่ามีค่าสูงสุดในชั่วโมงที่ 12, 18, 24, 36 และ 48, รองลงมาคือชั่วโมงที่ 0, 6, 12 และ 72, รองลงมาคือชั่วโมงที่ 0, 3, 6, 9 และ 72, และมีค่าต่ำสุดในชั่วโมงที่ 0, 3, 9 และ 96 โดยในชั่วโมงที่ 18, 24, 48 และ 36 ไม่ต่างจากชั่วโมงที่ 12 แต่ต่างจากชั่วโมงที่ 0, 6 และ 72, ชั่วโมงที่ 12 ไม่ต่างจากชั่วโมงที่ 0, 6 และ 72 แต่ต่างจากชั่วโมงที่ 3 และ 9 และชั่วโมงที่ 0, 3 และ 9 ไม่ต่างจากชั่วโมงที่ 72 แต่ต่างจากชั่วโมงที่ 96

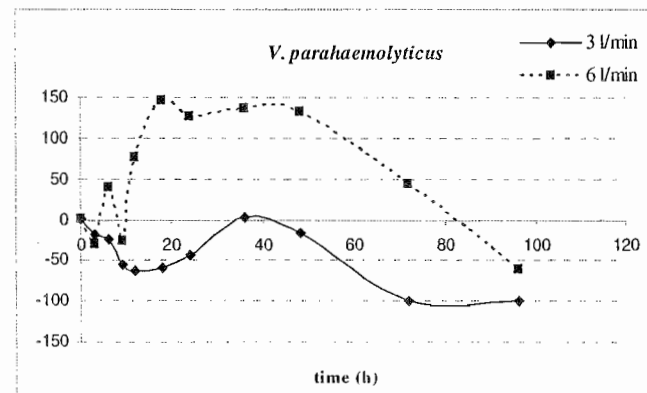


ภาพที่ 4-5 ปริมาณ *V. parahaemolyticus* ในรูปของ log ในมวลน้ำที่อัตราการไหลดของน้ำ 3 และ 6 ลิตรต่อน้ำที่

เมื่อนำเอาข้อมูลร้อยละของการเปลี่ยนแปลงปริมาณ *V. parahaemolyticus* ในทั้งสองการทดลองมาทำการเปรียบเทียบประสิทธิภาพในการลดปริมาณ *V. parahaemolyticus* พบว่าอิทธิพลร่วมระหว่างอัตราการไหลดของน้ำและเวลาที่ทำการศึกษามีผลต่อการเปลี่ยนแปลงปริมาณ *V. parahaemolyticus* อ่ายมีนัยสำคัญทางสถิติ ( $P<0.05$ ) (ตารางที่ 4-2) กล่าวคือการเปลี่ยนแปลงปริมาณ *V. parahaemolyticus* ในแต่ละอัตราการไหลดของน้ำ จะมีค่าแตกต่างกันในแต่ละเวลาที่ทำการศึกษา โดยที่อัตราการไหลดของน้ำ 3 ลิตรต่อน้ำที่ มีการลดลงเร็วกว่าที่อัตราการไหลดของน้ำ 6 ลิตรต่อน้ำที่ (ภาพที่ 4-6)

เมื่อทำการเปรียบเทียบร้อยละของการเปลี่ยนแปลงปริมาณ *V. parahaemolyticus* ที่อัตราการไหล 3 ลิตรต่อนาที พบร่วมกันค่าสูงสุดในชั่วโมงที่ 3, 6, 9, 12, 18, 24, 36 และ 48, และมีค่าต่ำสุดในชั่วโมงที่ 3, 6, 9, 12, 18, 24, 48, 72 และ 96 โดยในชั่วโมงที่ 36 ไม่ต่างจากชั่วโมงที่ 3, 6, 9, 12, 18, 24 และ 48 แต่ต่างจากชั่วโมงที่ 72 และ 96

เมื่อทำการเปรียบเทียบร้อยละของการเปลี่ยนแปลงปริมาณ *V. parahaemolyticus* ที่อัตราการไหล 6 ลิตรต่อนาที พบร่วมกันค่าสูงสุดในชั่วโมงที่ 12, 18, 24, 36 และ 48, รองลงมาคือชั่วโมงที่ 6, 12 และ 72, รองลงมาคือชั่วโมงที่ 3, 9 และ 72, และมีค่าต่ำสุดในชั่วโมงที่ 3, 9 และ 96 โดยในชั่วโมงที่ 18, 24, 48 และ 36 ไม่ต่างจากชั่วโมงที่ 12 แต่ต่างจากชั่วโมงที่ 6 และ 72 และชั่วโมงที่ 6 และ 72 ไม่ต่างจากชั่วโมงที่ 3 และ 9 แต่ต่างจากชั่วโมงที่ 96



ภาพที่ 4-6 ร้อยละของการเปลี่ยนแปลงปริมาณ *V. parahaemolyticus* ในมวลน้ำเปรียบเทียบกับปริมาณเริ่มต้นที่อัตราการไหลของน้ำ 3 และ 6 ลิตรต่อนาที

ตารางที่ 4-1 การวิเคราะห์ความแปรปรวน (ANOVA) ปริมาณแบคทีเรียในมวลน้ำที่อัตราการไหลของน้ำ 3 และ 6 ลิตรต่อนาที และระบบที่มีระบบกรองโลหะหนัก

แหล่งของความแปรปรวน	ค่า F		
	<i>E. coli</i>	<i>V. cholerae</i>	<i>V. parahaemolyticus</i>
3 ลิตรต่อนาที	2127.100*	269.593*	3.203*
6 ลิตรต่อนาที	319.889*	211.344*	12.132*
มีระบบกรอง	532.125*	49.325*	25.273*

หมายเหตุ \*P<0.05

ตารางที่ 4-2 การวิเคราะห์ความแปรปรวน (ANOVA) ร้อยละของการเปลี่ยนแปลงปริมาณ  
แบคทีเรียในมวลน้ำ ประกอบไปด้วย 2 ปัจจัย คือ อัตราการไอลของน้ำ (2)  
และเวลาที่ทำการศึกษา (10)

แหล่งของความแปรปรวน	df	ค่า F		
		<i>E. coli</i>	<i>V. cholerae</i>	<i>V. parahaemolyticus</i>
อัตราการไอลของน้ำ	1	259.142*	3.772	137.418*
เวลา	9	789.987*	473.438*	11.582*
อัตราการไอลของน้ำ * เวลา	9	51.293*	23.108*	6.095*

หมายเหตุ \* $P<0.05$

#### 4.2 การทดสอบระบบกรองต่อประสิทธิภาพของหลอดอัลตราไวโอลेटในการลด เชื้อแบคทีเรียที่เติมลงในมวลน้ำ

ผลการทดลองในขั้นตอนที่ 1 พบว่าอัตราการไอลของน้ำ 3 ลิตรต่อน้ำที่มีประสิทธิภาพ  
ในการลดการปนเปื้อนของ *E. coli*, *V. cholerae* และ *V. parahaemolyticus* ในมวลน้ำได้ดีกว่าที่  
อัตราการไอลของน้ำ 6 ลิตรต่อน้ำที่ จึงทำการเลือกอัตราการไอลของน้ำ 3 ลิตรต่อน้ำที่ มาทำ  
การทดสอบระบบกรองซึ่งทำหน้าที่ในการดักจับโลหะหนักว่ามีผลต่อประสิทธิภาพของ  
หลอดอัลตราไวโอลेटในการลดเชื้อแบคทีเรียที่เติมลงในมวลน้ำหรือไม่ แล้วนำข้อมูลที่ได้มา  
ทำการเปรียบเทียบกับระบบที่ไม่มีระบบกรอง (ขั้นตอนที่ 1)

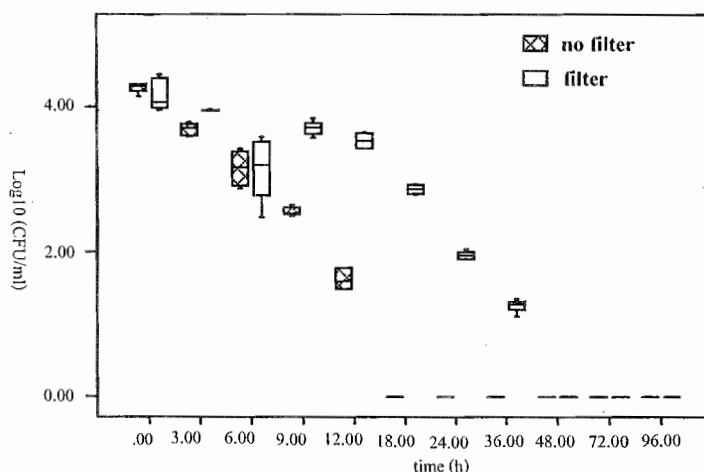
ค่าเฉลี่ยปริมาณ *E. coli*, *V. cholerae* และ *V. parahaemolyticus* ในมวลน้ำของระบบที่ไม่มี  
ระบบกรองโลหะหนักและระบบที่มีระบบกรอง แสดงผลในตารางที่ 2 (ภาคผนวก) มีผลการศึกษา<sup>ดังนี้</sup>

##### 4.2.1 ปริมาณ *E. coli*

ปริมาณ *E. coli* ในระบบที่มีระบบกรองโลหะหนัก มีค่าเฉลี่ยเริ่มต้นเท่ากับ  
 $1.56 \times 10^4 \pm 0.83 \times 10^4$  โคโลนีต่อมิลลิลิตร เมื่อเวลาผ่านเข้าสู่ระบบพบว่าปริมาณ *E. coli* มีการ  
ลดลงใน 6 ชั่วโมงแรก หลังจากนั้นจึงเพิ่มขึ้นในชั่วโมงที่ 9 แล้วคงที่จนถึงชั่วโมงที่ 12 แล้วจึงลดลง  
เรื่อยๆ จนไม่สามารถตรวจพบได้ในชั่วโมงที่ 48 (ภาพที่ 4-7)

เมื่อทำการเปรียบเทียบปริมาณ *E. coli* ในระบบที่มีระบบกรองโลหะหนัก พบว่าเวลาที่  
ทำการศึกษามีผลต่อปริมาณ *E. coli* อย่างมีนัยสำคัญทางสถิติ ( $P<0.05$ ) (ตารางที่ 4-1) โดยพบว่ามี

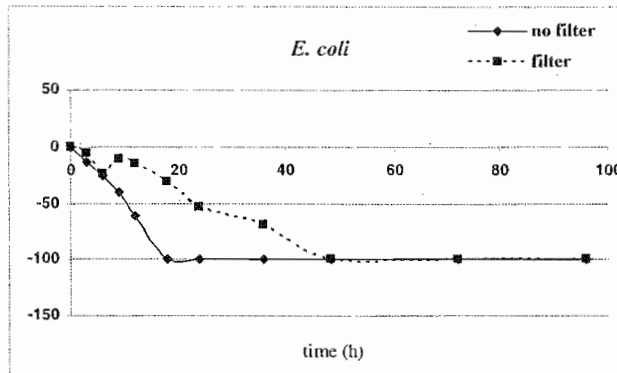
ค่าสูงสุดในชั่วโมงที่ 0 รองลงมาคือชั่วโมงที่ 3, รองลงมาคือชั่วโมงที่ 9 และ 12, รองลงมาคือชั่วโมงที่ 6, รองลงมาคือชั่วโมงที่ 18, รองลงมาคือชั่วโมงที่ 24, รองลงมาคือชั่วโมงที่ 36, และมีค่าต่ำสุดในชั่วโมงที่ 48, 72 และ 96 โดยค่าเฉลี่ยในกลุ่มเดียวกันไม่ต่างกัน



ภาพที่ 4-7 ปริมาณ *E. coli* ในรูปของ log ในมวลน้ำของระบบที่ไม่มีระบบกรองโลหะหนักและระบบที่มีระบบกรองโลหะหนัก

เมื่อนำเอาข้อมูลร้อยละของการเปลี่ยนแปลงปริมาณ *E. coli* ในระบบที่ไม่มีระบบกรองโลหะหนักกับระบบที่มีระบบกรองโลหะหนัก มาทำการเปรียบเทียบประสิทธิภาพในการลดปริมาณ *E. coli* พบร่วมระหว่างระบบและเวลาที่ทำการศึกษามีผลต่อการเปลี่ยนแปลงปริมาณ *E. coli* อย่างมีนัยสำคัญทางสถิติ ( $P<0.05$ ) (ตารางที่ 4-3) กล่าวคือการเปลี่ยนแปลงปริมาณ *E. coli* ในแต่ละระบบ จะมีค่าแตกต่างกันในแต่ละเวลาที่ทำการศึกษาโดยพบว่าปริมาณ *E. coli* ในมวลน้ำของระบบที่มีระบบกรองโลหะหนัก มีการลดลงได้มากกว่า *E. coli* ของระบบที่ไม่มีระบบกรองโลหะหนัก แสดงว่าการเพิ่มระบบกรองโลหะหนักมีผลทำให้ปริมาณเชื้อ *E. coli* ในมวลน้ำลดได้ชัดเจน (ภาพที่ 4-8)

เมื่อทำการเปรียบเทียบร้อยละของการเปลี่ยนแปลงปริมาณ *E. coli* ในมวลน้ำระบบที่มีระบบกรองโลหะหนัก พบร่วมกับค่าสูงสุดในชั่วโมงที่ 3, รองลงมาคือชั่วโมงที่ 9 และ 12, รองลงมาคือชั่วโมงที่ 6, รองลงมาคือชั่วโมงที่ 18, รองลงมาคือชั่วโมงที่ 24, รองลงมาคือชั่วโมงที่ 36, และมีค่าต่ำสุดในชั่วโมงที่ 48, 72 และ 96 โดยค่าเฉลี่ยในกลุ่มเดียวกันไม่ต่างกัน

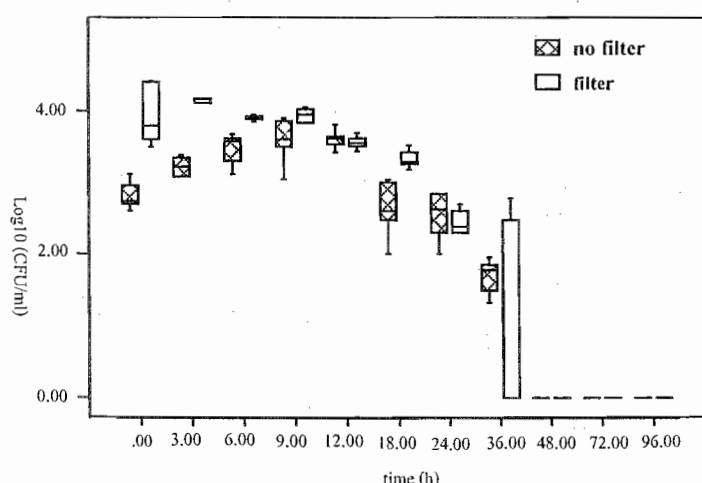


ภาพที่ 4-8 ร้อยละของการเปลี่ยนแปลงปริมาณ *E. coli* ในมวลน้ำของระบบที่ไม่มีระบบกรองโลหะหนักและระบบที่มีระบบกรองโลหะหนัก

#### 4.2.2 ปริมาณ *V. cholerae*

ปริมาณ *V. cholerae* ในระบบที่มีระบบกรองโลหะหนัก มีค่าเฉลี่ยเริ่มต้นเท่ากับ  $1.18 \times 10^4 \pm 1.07 \times 10^4$  โคลoniต่อเมลลิลิตร เมื่อเวลาผ่านเข้าสู่ระบบพบว่า *V. cholerae* มีปริมาณไม่ต่างกันใน 18 ชั่วโมงแรก หลังจากนั้นจึงลดลงเรื่อยๆจนไม่สามารถตรวจพบได้ในชั่วโมงที่ 72 (ภาพที่ 4-9)

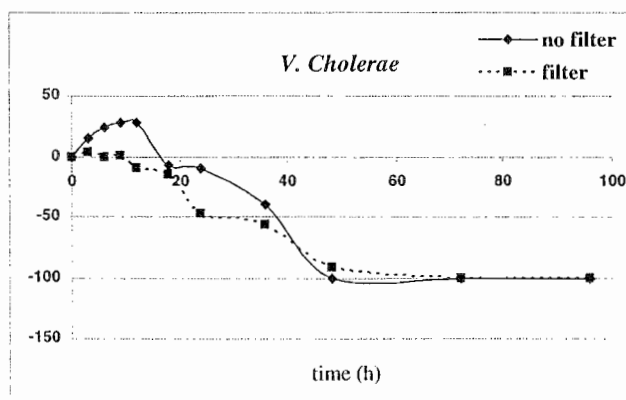
เมื่อทำการเปรียบเทียบปริมาณ *V. cholerae* ในระบบที่มีระบบกรองโลหะหนักพบว่า เวลาที่ทำการศึกษามีผลต่อปริมาณ *V. cholerae* อย่างมีนัยสำคัญทางสถิติ ( $P < 0.05$ ) (ตารางที่ 4-1) โดยพบว่ามีค่าสูงสุดในชั่วโมงที่ 0, 3, 6, 9, 12 และ 18, รองลงมาคือชั่วโมงที่ 24 และ 36, และ มีค่าต่ำสุดใน 48, 72 และ 96 โดยค่าเฉลี่ยในกลุ่มเดียวกันไม่ต่างกัน



ภาพที่ 4-9 ปริมาณ *V. cholerae* ในรูปของ log ในมวลน้ำของระบบที่ไม่มีระบบกรองโลหะหนักและระบบที่มีระบบกรองโลหะหนัก

เมื่อนำเอาข้อมูลร้อยละของการเปลี่ยนแปลงปริมาณ *V. cholerae* ในระบบที่ไม่มีระบบกรองกับระบบที่มีระบบกรอง มาทำการเปรียบเทียบประสิทธิภาพในการลดปริมาณ *V. cholerae* พนว่าอิทธิพลร่วมระหว่างระบบและเวลาที่ทำการศึกษามีผลต่อการเปลี่ยนแปลงปริมาณ *V. cholerae* อย่างมีนัยสำคัญทางสถิติ ( $P<0.05$ ) (ตารางที่ 4-3) กล่าวคือการเปลี่ยนแปลงปริมาณ *V. cholerae* ในแต่ละระบบ จะมีค่าแตกต่างกันในแต่ละเวลาที่ทำการศึกษา โดยพบว่าปริมาณ *V. cholerae* ในมวลน้ำของระบบที่มีระบบกรองไม่มีการเพิ่มขึ้นในช่วงแรกของการทดลอง แต่ระบบที่ไม่มีระบบกรอง *V. cholerae* มีการเพิ่มขึ้นในช่วงแรกก่อนจะมีการลดลง และคงว่าการเพิ่มระบบกรองมีผลทำให้การลดลงของ *V. cholerae* ในมวลน้ำดีขึ้น (ภาพที่ 4-10)

เมื่อทำการเปรียบเทียบร้อยละของการเปลี่ยนแปลงปริมาณ *V. cholerae* ในระบบที่มีระบบกรอง พนว่ามีค่าสูงสุดในชั่วโมงที่ 3, 6, 9, 12 และ 18, รองลงมาคือชั่วโมงที่ 24 และ 36, และมีค่าต่ำสุดในชั่วโมงที่ 48, 72 และ 96 โดยค่าเฉลี่ยในกลุ่มเดียวกันไม่ต่างกัน

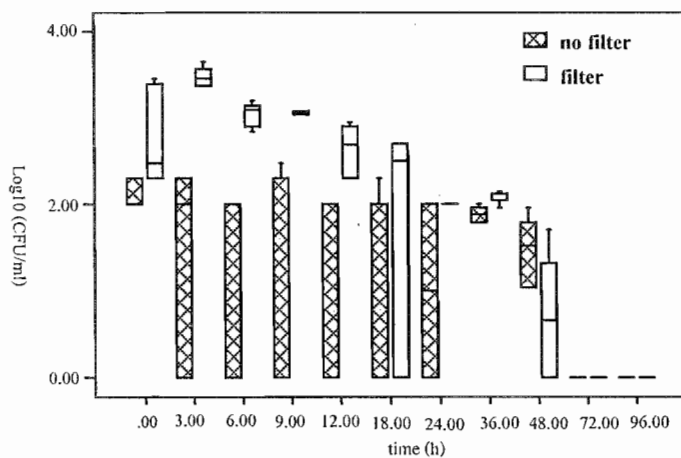


ภาพที่ 4-10 ร้อยละของการเปลี่ยนแปลงปริมาณ *V. cholerae* ในมวลน้ำของระบบที่ไม่มีระบบกรอง โลหะหนักและระบบที่มีระบบกรอง โลหะหนัก

#### 4.2.3 ปริมาณ *V. parahaemolyticus*

ปริมาณ *V. parahaemolyticus* ในระบบที่มีระบบกรอง มีค่าเฉลี่ยเริ่มต้นเท่ากับ  $1.07 \times 10^3 \pm 1.27 \times 10^3$  โคลoniต์ต่อมิลลิลิตร เมื่อเวลา 0 นาที ผ่านเข้าสู่ระบบพบว่าปริมาณ *V. parahaemolyticus* มีปริมาณคลื่นข้าง Kong ที่ถึงชั่วโมงที่ 12 จากนั้นจึงลดลงเรื่อยๆ จนไม่สามารถตรวจพบได้ในชั่วโมงที่ 72 (ภาพที่ 4-11)

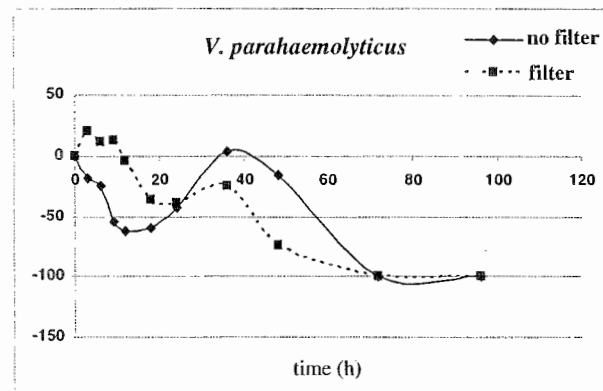
เมื่อทำการเปรียบเทียบปริมาณ *V. parahaemolyticus* ในระบบที่มีระบบกรอง พนว่าเวลาที่ทำการศึกษามีผลต่อปริมาณ *V. parahaemolyticus* อย่างมีนัยสำคัญทางสถิติ ( $P<0.05$ ) (ตารางที่ 4-1) โดยพบว่ามีค่าสูงสุดในชั่วโมงที่ 0, 3, 6, 9 และ 12, รองลงมาคือชั่วโมงที่ 0, 12 และ 36, รองลงมาคือ 18, 24 และ 36, และมีค่าต่ำสุดในชั่วโมงที่ 48, 72 และ 96 โดยในชั่วโมงที่ 3, 6 และ 9 ไม่ต่างจากชั่วโมงที่ 0 และ 12 แต่ต่างจากชั่วโมงที่ 36 และชั่วโมงที่ 0 และ 12 ไม่ต่างจากชั่วโมงที่ 36 แต่ต่างจากชั่วโมงที่ 18 และ 24



ภาพที่ 4-11 ปริมาณ *V. parahaemolyticus* ในรูปของ log ในมวลน้ำของระบบที่ไม่มีระบบกรองโลหะหนักและระบบที่มีระบบกรองโลหะหนัก

เมื่อนำเอ้าข้อมูลร้อยละของการเปลี่ยนแปลงปริมาณ *V. parahaemolyticus* ในระบบที่ไม่มีระบบกรองกับระบบที่ไม่มีระบบกรอง มาทำการเปรียบเทียบประสิทธิภาพในการลดปริมาณ *V. parahaemolyticus* พนว่าอิทธิพลร่วมระหว่างระบบและเวลาที่ทำการศึกษามีผลต่อการเปลี่ยนแปลงปริมาณ *V. parahaemolyticus* อย่างมีนัยสำคัญทางสถิติ ( $P<0.05$ ) (ตารางที่ 4-3) กล่าวคือการเปลี่ยนแปลงปริมาณ *V. parahaemolyticus* ในแต่ละระบบ จะมีค่าแตกต่างกันในแต่ละเวลาที่ทำการศึกษา โดยพบว่าปริมาณ *V. parahaemolyticus* ในระบบที่มีระบบกรองมีการลดลงเร็วกว่าระบบที่ไม่มีระบบกรอง แสดงว่าการเพิ่มระบบกรองมีผลทำให้การลดลงของ *V. parahaemolyticus* ในมวลน้ำดีขึ้น (ภาพที่ 4-12)

เมื่อทำการเปรียบเทียบร้อยละของการเปลี่ยนแปลงปริมาณ *V. parahaemolyticus* ในระบบที่มีระบบกรองพบว่ามีค่าสูงสุดในชั่วโมงที่ 3, 6, 9 และ 12, รองลงมาคือชั่วโมงที่ 12 และ 36, รองลงมาคือ 18, 24 และ 36, และมีค่าต่ำสุดในชั่วโมงที่ 48, 72 และ 96 โดยในชั่วโมงที่ 3, 6 และ 9 ไม่ต่างจากชั่วโมงที่ 12 แต่ต่างจากชั่วโมงที่ 36 และชั่วโมงที่ 12 ไม่ต่างจากชั่วโมงที่ 36 แต่ต่างจากชั่วโมงที่ 18 และ 24



ภาพที่ 4-12 ร้อยละของการเปลี่ยนแปลงปริมาณ *V. parahaemolyticus* ในมวลน้ำของระบบที่ไม่มีระบบกรองโลหะหนักและระบบที่มีระบบกรองโลหะหนัก

ตารางที่ 4-3 การวิเคราะห์ความแปรปรวน (ANOVA) ร้อยละของการเปลี่ยนแปลงแบคทีเรียในมวลน้ำ (ส่วนที่ 2) ประกอบไปด้วย 2 ปัจจัย คือ ระบบ (2) และเวลาที่ทำการศึกษา (10)

แหล่งของความแปรปรวน	df	ค่า F		
		<i>E. coli</i>	<i>V. cholerae</i>	<i>V. parahaemolyticus</i>
ระบบ	1	1465.330*	47.863*	4.288*
เวลา	9	1369.248*	191.003*	10.494*
ระบบ* เวลา	9	171.057*	5.158*	3.104*

หมายเหตุ \*P<0.05

### 4.3 การทดสอบระบบ Depuration ในการลดการปนเปื้อนเชื้อแบคทีเรียก่อโรคและโภะหนักในหอยนางรมปากจีบ

ผลการเปรียบเทียบข้อมูลในส่วนที่ 2 พบว่าระบบกรองมีผลทำให้ประสิทธิภาพของหลอดอัลตราไวโอเลตในการลดปริมาณ *V. cholerae* และ *V. parahaemolyticus* ในมวลน้ำดีขึ้น แต่สำหรับ *E. coli* พบว่าระบบกรองทำให้ประสิทธิภาพของหลอดอัลตราไวโอเลตในการลด *E. coli* ช้าลง แต่ก็ลดลงจนไม่สามารถตรวจพบได้ เช่นกัน แสดงว่าการเพิ่มระบบกรองมีผลทำให้ประสิทธิภาพของหลอดอัลตราไวโอเลตในการลดเชื้อแบคทีเรียในมวลน้ำดีขึ้น ได้ จึงทำการทดสอบประสิทธิภาพของระบบ Depuration ที่ออกแบบในการทดลองครั้งนี้กับหอยนางรมปากจีบ โดยในการทดลองครั้งนี้ไม่พนการปนเปื้อนของ *E. coli* ในตัวอย่างหอยนางรมปากจีบ ตั้งแต่ชั่วโมงแรกจนถึงชั่วโมงสุดท้ายของการทดลอง สำหรับ *V. cholerae* และ *V. parahaemolyticus* พบว่า มีปริมาณเพิ่มขึ้นเรื่อยๆ จนสูงสุดในชั่วโมงที่ 12 หลังจากนั้นจึงเริ่มลดลงระหว่างชั่วโมงที่ 13 จนถึงชั่วโมงที่ 96 และพบว่าระบบ Depuration ที่ออกแบบในการทดลองครั้งนี้ ไม่สามารถลดปริมาณโภะหนักในหอยนางรมปากจีบได้

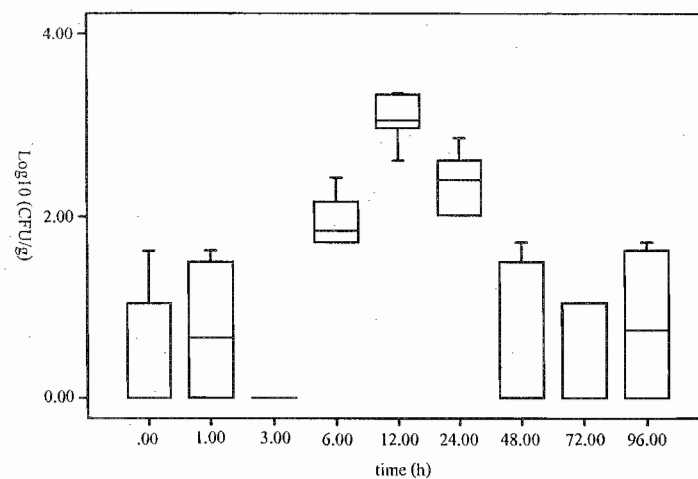
ค่าเฉลี่ยปริมาณ *V. cholerae* และ *V. parahaemolyticus* และค่าเฉลี่ยปริมาณโภะหนักในหอยนางรมปากจีบในระบบที่ไม่มีการจัดการกับตะกอน แสดงผลในตารางที่ 3 และ 4 ตามลำดับ (ภาคผนวก) มีผลการศึกษาดังนี้

#### 4.3.1 ปริมาณแบคทีเรียในหอยนางรมปากจีบ

##### 4.3.1.1 ปริมาณ *V. cholerae*

ปริมาณ *V. cholerae* มีค่าเฉลี่ยเริ่มต้นเท่ากับ  $0.08 \times 10^2 \pm 0.16 \times 10^2$  โคลoniต่อกรัม เมื่อนำหอยนางรมปากจีบเข้าระบบ Depuration พบว่าปริมาณ *V. cholerae* ในหอยนางรมปากจีบมีค่าเพิ่มขึ้นเรื่อยๆ จนสูงสุดในชั่วโมงที่ 12 หลังจากนั้นจึงเริ่มลดลงเรื่อยๆระหว่างชั่วโมงที่ 13-96 โดยมีค่าเฉลี่ยสุดท้ายเท่ากับ  $0.07 \times 10^2 \pm 0.15 \times 10^2$  โคลoniต่อกรัม (ภาพที่ 4-13)

เมื่อทำการเปรียบเทียบปริมาณ *V. cholerae* ในระบบที่ไม่มีการจัดการกับตะกอน พบว่า เวลาที่ทำการศึกษามีผลต่อปริมาณ *V. cholerae* อย่างมีนัยสำคัญทางสถิติ ( $P < 0.05$ ) (ตารางที่ 4-4) โดยพบว่ามีค่าสูงสุดในชั่วโมงที่ 12 รองลงมาคือชั่วโมงที่ 6 และ 24 และมีค่าต่ำสุดในชั่วโมงที่ 0, 1, 3, 48, 72 และ 96 โดยค่าเฉลี่ยในกลุ่มเดียวกัน ไม่ต่างกัน

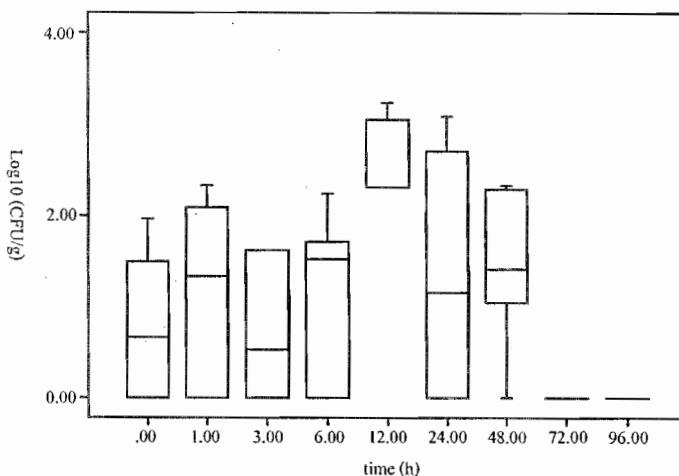


ภาพที่ 4.13 ปริมาณ *V. cholerae* ในรูปของ log ในหอยนางรมปากจีบของระบบที่ไม่มีการขัดการกับตะกอน

#### 4.3.1.2 ปริมาณ *V. parahaemolyticus*

ปริมาณ *V. parahaemolyticus* ค่าเฉลี่ยเริ่มต้นเท่ากับ  $0.23 \times 10^2 \pm 0.35 \times 10^2$  โคลoniต่อกรัม เมื่อนำหอยนางรมปากจีบเข้าระบบ Depuration พบร่วมปริมาณ *V. parahaemolyticus* ในหอยนางรมปากจีบมีค่าเพิ่มขึ้นเรื่อยๆ จนถึงชั่วโมงที่ 48 หลังจากนั้นจึงเริ่มลดลงจนถึงชั่วโมงที่ 96 โดยมีค่าเฉลี่ยสุดท้ายเท่ากับ  $0.05 \times 10^2 \pm 0.12 \times 10^2$  โคลoniต่อกรัม (ภาพที่ 4-14)

เมื่อทำการเปรียบเทียบปริมาณ *V. parahaemolyticus* ในระบบที่ไม่มีการขัดการกับตะกอน พบร่วมเวลาที่ทำการศึกษามีผลต่อปริมาณ *V. parahaemolyticus* อ่างมีน้ำสำคัญทางสถิติ ( $P < 0.05$ ) (ตารางที่ 4-4) โดยพบร่วมค่าสูงสุดในชั่วโมงที่ 1, 6, 12, 24 และ 48 และมีค่าต่ำสุดในชั่วโมงที่ 0, 1, 3, 6, 24, 48, 72 และ 96 โดยในชั่วโมงที่ 12 ไม่ต่างจากชั่วโมงที่ 1, 6, 24 และ 48 แต่ต่างจากชั่วโมงที่ 0, 3, 72 และ 96



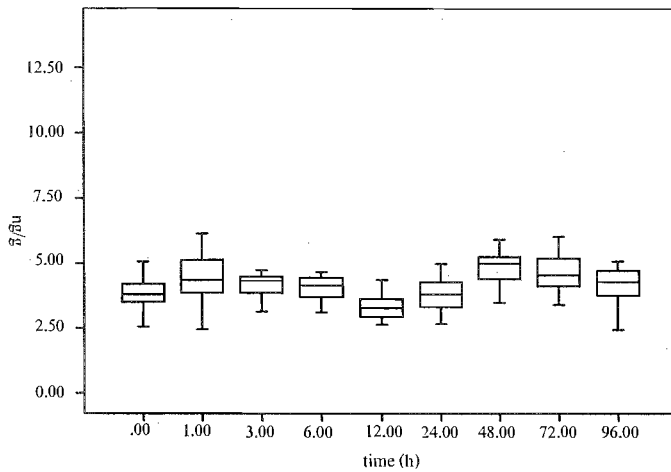
ภาพที่ 4-14 ปริมาณ *V. parahaemolyticus* ในรูปของ log ในหอยนางรมปักจีบของระบบที่ไม่มีการจัดการกับตะกอน

### 4.3.2 ปริมาณโคละหนักในหอยนางรมปักจีบ

#### 4.3.2.1 ปริมาณproto

ปริมาณprotoในหอยนางรมปักจีบมีค่าเฉลี่ยเริ่มต้นเท่ากับ  $3.87 \pm 0.73$  นาโนกรัมต่อกรัมน้ำหนักเปียก เมื่อนำหอยนางรมปักจีบเข้าระบบ Depuration พบร่วมปริมาณprotoในหอยนางรมปักจีบมีค่าลดลงในชั่วโมงที่ 12 แล้วจึงมีค่าเพิ่มขึ้นแล้วค่อนข้างคงที่จนถึงชั่วโมงที่ 96 โดยค่าเฉลี่ยสุดท้ายเท่ากับ  $4.71 \pm 2.57$  นาโนกรัมต่อกรัมน้ำหนักเปียก (ภาพที่ 4-15)

เมื่อทำการเปรียบเทียบปริมาณprotoในหอยนางรมปักจีบในระบบที่ไม่มีการจัดการกับตะกอน พบร่วมเวลาที่ทำการศึกษามีผลต่อปริมาณprotoในหอยนางรมปักจีบอย่างมีนัยสำคัญทางสถิติ ( $P < 0.05$ ) (ตารางที่ 4-6) โดยพบว่ามีค่าสูงสุดในชั่วโมงที่ 0, 1, 3, 6, 24, 48, 72 และ 96 และมีค่าต่ำสุดในชั่วโมงที่ 0, 1, 3, 6, 12, 24, 48 และ 96 โดยในชั่วโมงที่ 72 ไม่ต่างจากชั่วโมงที่ 0, 1, 3, 6, 24, 48 และ 96 แต่ต่างจากชั่วโมงที่ 12

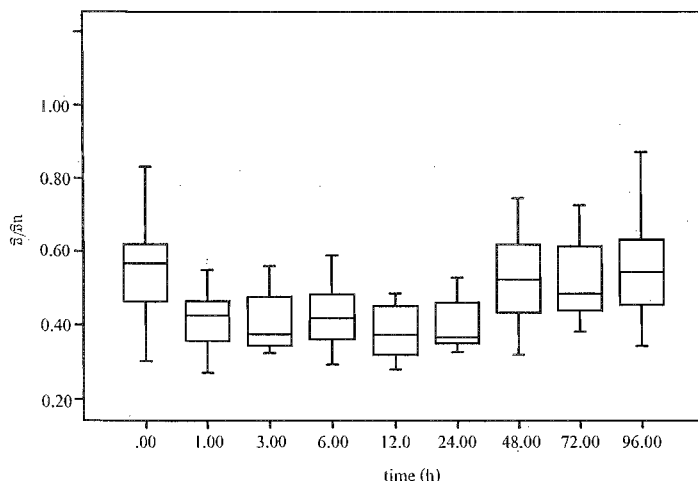


ภาพที่ 4-15 ปริมาณprotoในหอยนางรมปากจีบของระบบที่ไม่มีการจัดการกับตะกอน

#### 4.3.2.2 ปริมาณแคดเมียม

ปริมาณแคดเมียมในหอยนางรมปากจีบมีค่าเฉลี่ยเริ่มต้นเท่ากับ  $0.57 \pm 0.16$  ไมโครกรัมต่อกรัมน้ำหนักเปียก เมื่อนำหอยนางรมปากจีบเข้าระบบ Depuration พบร่วมกับปริมาณแคดเมียมในหอยนางรมปากจีบมีการลดลงแล้วคงที่จนถึงชั่วโมงที่ 24 จากนั้นจึงมีการเพิ่มขึ้นแล้วคงที่จนถึงชั่วโมงที่ 96 โดยค่าเฉลี่ยสุดท้ายเท่ากับ  $0.56 \pm 0.15$  ไมโครกรัมต่อกรัมน้ำหนักเปียก (ภาพที่ 4-16)

เมื่อทำการเปรียบเทียบปริมาณแคดเมียมในหอยนางรมปากจีบในระบบที่ไม่มีการจัดการกับตะกอน พบร่วมเวลาที่ทำการศึกษามีผลต่อปริมาณแคดเมียมในหอยนางรมปากจีบอย่างมีนัยสำคัญทางสถิติ ( $P < 0.05$ ) (ตารางที่ 4-6) โดยพบว่ามีค่าสูงสุดในชั่วโมงที่ 0, 48, 72 และ 96 และมีค่าต่ำสุดในชั่วโมงที่ 1, 3, 6, 12 และ 24 โดยค่าเฉลี่ยในกลุ่มเดียวกันไม่ต่างกัน

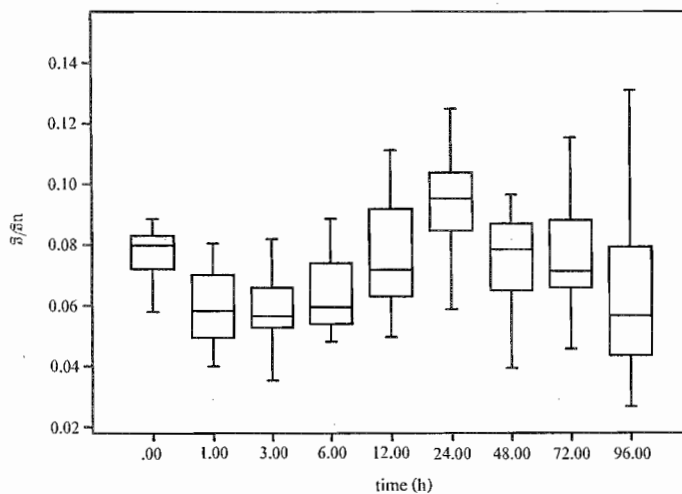


ภาพที่ 4-16 ปริมาณแคดเมียมในหอยนางรมปากจีบของระบบที่ไม่มีการจัดการกับตะกอน

#### 4.3.2.3 ปริมาณตะกั่ว

ปริมาณตะกั่วในหอยนางรมปากจีบมีค่าเฉลี่ยเริ่มต้นเท่ากับ  $0.08 \pm 0.01$  ไมโครกรัมต่อกรัมน้ำหนักเปียก เมื่อนำหอยนางรมปากจีบเข้าระบบ Depuration พบร่วมปริมาณตะกั่วในหอยนางรมปากจีบมีการลดลงใน 6 ชั่วโมงแรก หลังจากนั้นจึงเพิ่มขึ้นในชั่วโมงที่ 24 จนถึง 72 และวิ่งลดลงในชั่วโมงที่ 96 โดยค่าเฉลี่ยสุดท้ายเท่ากับ  $0.07 \pm 0.03$  ไมโครกรัมต่อกรัมน้ำหนักเปียก (ภาพที่ 4-17)

เมื่อทำการเปรียบเทียบปริมาณตะกั่วในหอยนางรมปากจีบในระบบที่ไม่มีการจัดการกับตะกอน พบร่วมเวลาที่ทำการศึกษามีผลต่อปริมาณตะกั่วในหอยนางรมปากจีบอย่างมีนัยสำคัญทางสถิติ ( $P < 0.05$ ) (ตารางที่ 4-6) โดยพบว่ามีค่าสูงสุดในชั่วโมงที่ 0, 12, 24, 48 และ 72 และมีค่าต่ำสุดในชั่วโมงที่ 0, 1, 3, 6, 12, 48, 72 และ 96 โดยในชั่วโมงที่ 24 ไม่ต่างจากชั่วโมงที่ 0, 12, 48 และ 72 แต่ต่างจากชั่วโมงที่ 1, 3, 6 และ 96

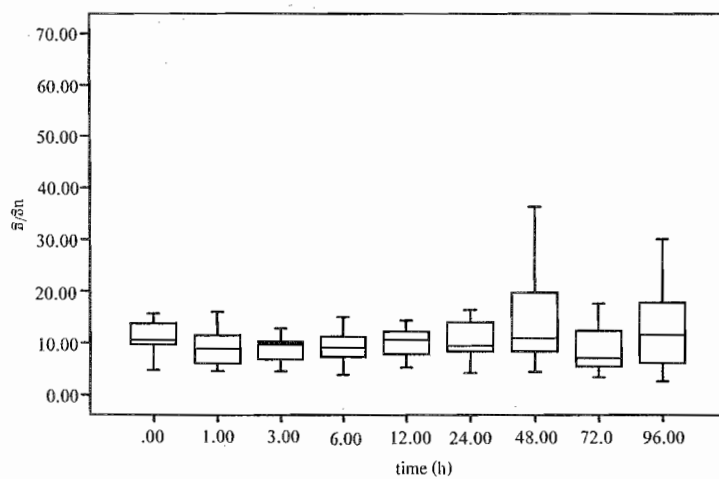


ภาพที่ 4-17 ปริมาณตะกั่วในหอยนางรมปากจีบของระบบที่ไม่มีการจัดการกับตะกอน

#### 4.3.2.4 ปริมาณทองแดง

ปริมาณทองแดงในหอยนางรมปากจีบมีค่าเฉลี่ยเริ่มต้นเท่ากับ  $14.86 \pm 14.20$  ไมโครกรัมต่อกรัมน้ำหนักเปียก เมื่อนำหอยนางรมปากจีบเข้าระบบ Depuration พบร่วมปริมาณทองแดงในหอยนางรมปากจีบมีการเปลี่ยนแปลงค่อนข้างคงที่จนถึงชั่วโมงที่ 96 โดยค่าเฉลี่ยสูงที่สุดท้ายเท่ากับ  $12.70 \pm 7.67$  ไมโครกรัมต่อกรัมน้ำหนักเปียก (ภาพที่ 4-18)

เมื่อทำการเปรียบเทียบปริมาณทองแดงในหอยนางรมปักจีนในระบบที่ไม่มีการจัดการกับตะกอน พบว่าเวลาที่ทำการศึกษาไม่มีผลต่อปริมาณทองแดงในหอยนางรมปักจีนอย่างมีนัยสำคัญทางสถิติ ( $P>0.05$ ) (ตารางที่ 4-6) โดยพบว่าค่าเฉลี่ยของทองแดงในหอยนางรมปักจีนในแต่ละเวลาที่ทำการศึกษาไม่มีความแตกต่างกัน

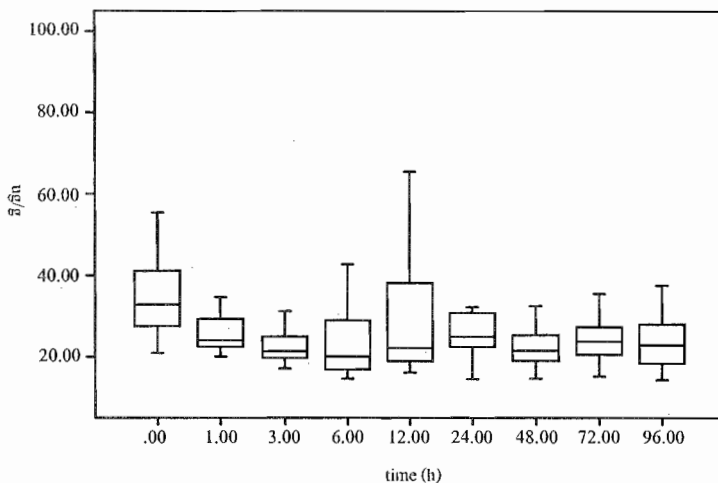


ภาพที่ 4-18 ปริมาณทองแดงในหอยนางรมปักจีนของระบบที่ไม่มีการจัดการกับตะกอน

#### 4.3.2.5 ปริมาณเหล็ก

ปริมาณเหล็กในหอยนางรมปักจีนมีค่าเฉลี่ยเริ่มต้นเท่ากับ  $34.87 \pm 9.90$  ในโครงรั้มต่อกรั้มน้ำหนักเปียก เมื่อนำหอยนางรมปักจีนเข้าระบบ Depuration พบว่าปริมาณเหล็กในหอยนางรมปักจีนมีการเปลี่ยนแปลงค่อนข้างคงที่จนถึงชั่วโมงที่ 96 โดยค่าเฉลี่ยสุดท้ายเท่ากับ  $24.35 \pm 8.96$  ในโครงรั้มต่อกรั้มน้ำหนักเปียก (ภาพที่ 4-19)

เมื่อทำการเปรียบเทียบปริมาณเหล็กในหอยนางรมปักจีนในระบบที่ไม่มีการจัดการกับตะกอน พบว่าเวลาที่ทำการศึกษาไม่มีผลต่อปริมาณเหล็กในหอยนางรมปักจีนอย่างมีนัยสำคัญทางสถิติ ( $P>0.05$ ) (ตารางที่ 4-6) โดยพบว่าค่าเฉลี่ยของเหล็กในหอยนางรมปักจีนในแต่ละเวลาที่ทำการศึกษาไม่มีความแตกต่างกัน

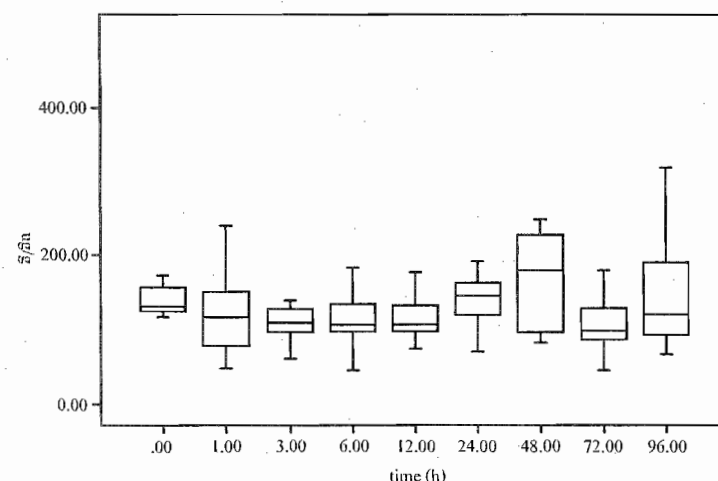


ภาพที่ 4-19 ปริมาณเหล็กในหอยนางรมปักจีนของระบบที่ไม่มีการจัดการกับตะกอน

#### 4.3.2.6 ปริมาณสังกะสี

ปริมาณสังกะสีในหอยนางรมปักจีนมีค่าเฉลี่ยเริ่มต้นเท่ากับ  $154.66 \pm 89.77$  ไมโครกรัมต่อกิโลกรัมน้ำหนักเปียก เมื่อนำหอยนางรมปักจีนเข้าระบบ Depuration พบร่วมปริมาณสังกะสีในหอยนางรมปักจีนมีการเปลี่ยนแปลงค่อนข้างคงที่จนถึงชั่วโมงที่ 96 โดยค่าเฉลี่ยสุดท้ายเท่ากับ  $146.44 \pm 70.28$  ไมโครกรัมต่อกิโลกรัมน้ำหนักเปียก (ภาพที่ 4-20)

เมื่อทำการเปรียบเทียบปริมาณสังกะสีในหอยนางรมปักจีนในระบบที่ไม่มีการจัดการกับตะกอน พบร่วมเวลาที่ทำการศึกษาไม่มีผลต่อปริมาณสังกะสีในหอยนางรมปักจีนอย่างมีนัยสำคัญยิ่งทางสถิติ ( $P > 0.01$ ) (ตารางที่ 4-6) โดยพบว่าค่าเฉลี่ยของสังกะสีในหอยนางรมปักจีนในแต่ละเวลาที่ทำการศึกษาไม่มีความแตกต่างกัน



ภาพที่ 4-20 ปริมาณสังกะสีในหอยนางรมปักจีนของระบบที่ไม่มีการจัดการกับตะกอน

#### 4.4 การปรับปรุงระบบ โดยทำการจัดการกับตะกอนที่เกิดขึ้นจากการที่หอยลายออกมา

ผลของการลดการปนเปื้อนแบคทีเรียและโลหะหนักในหอยนางรมปากจีบที่ผ่านระบบ Depuration ที่ออกแบบในการทดลองครั้งนี้ยังไม่ประสบความสำเร็จ เมื่อจากพบว่ามีการเพิ่มขึ้นของแบคทีเรียในหอยนางรมปากจีบและไม่สามารถลดการปนเปื้อนของโลหะหนักในหอยนางรมปากจีบได้ และพบว่ามีตะกอนซึ่งเกิดจากการที่หอยลายออกมาที่บริเวณด้านล่างของถังพักหอยซึ่งตะกอนเหล่านี้อาจเป็นสาเหตุของการเพิ่มขึ้นของเชื้อแบคทีเรียในหอยนางรมปากจีบที่ผ่านระบบ Depuration ที่ออกแบบในการทดลองครั้งนี้ จึงได้ทำการจัดการกับตะกอนที่บริเวณด้านล่างของถังพักหอยซึ่งเกิดจากการที่หอยลายออกมา แล้วนำข้อมูลทั้งสองระบบมาเปรียบเทียบกัน ผลการทดลองในครั้งนี้ไม่พบการปนเปื้อนของ *E. coli* ในตัวอย่างหอยนางรมปากจีบสำหรับ *V. cholerae*, และ *V. parahaemolyticus* พบว่าไม่มีการเพิ่มจำนวนและไม่สามารถตรวจพบได้ในชั่วโมงที่ 72 และพบว่าขังคงไม่สามารถลดปริมาณโลหะหนักในหอยนางรมปากจีบได้เช่นเดียวกับระบบที่ไม่มีการจัดการกับตะกอน

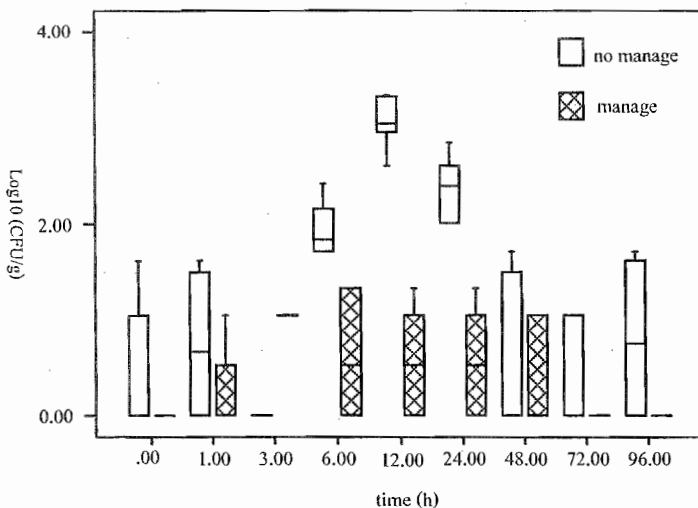
ค่าเฉลี่ยปริมาณ *V. cholerae* และ *V. parahaemolyticus* และค่าเฉลี่ยปริมาณโลหะหนักในหอยนางรมปากจีบของระบบที่มีการจัดการกับตะกอน แสดงผลในตารางที่ 3 และ 4 ตามลำดับ (ภาคผนวก) มีผลการศึกษาดังนี้

##### 4.4.1 ปริมาณแบคทีเรียในหอยนางรมปากจีบ

###### 4.4.1.1 ปริมาณ *V. cholerae*

ปริมาณ *V. cholerae* มีค่าเฉลี่ยเริ่มต้นเท่ากับ  $0.02 \times 10^2 \pm 0.04 \times 10^2$  โคลอนิเตอร์รัม เมื่อนำหอยนางรมปากจีบเข้าระบบ Depuration พบว่าปริมาณ *V. cholerae* ในหอยนางรมปากจีบมีการเปลี่ยนแปลงค่อนข้างคงที่และไม่สามารถตรวจพบได้ในชั่วโมงที่ 72 (ภาพที่ 4-21)

เมื่อทำการเปรียบเทียบปริมาณ *V. cholerae* ในระบบที่มีการจัดการกับตะกอน พบว่าเวลาที่ทำการศึกษาไม่มีผลต่อปริมาณ *V. cholerae* ในหอยนางรมปากจีบอย่างมีนัยสำคัญยิ่งทางสถิติ ( $P > 0.01$ ) (ตารางที่ 4-4) โดยพบว่าค่าเฉลี่ย *V. cholerae* ในหอยนางรมปากจีบในแต่ละเวลาที่ทำการศึกษาไม่มีความแตกต่างกัน

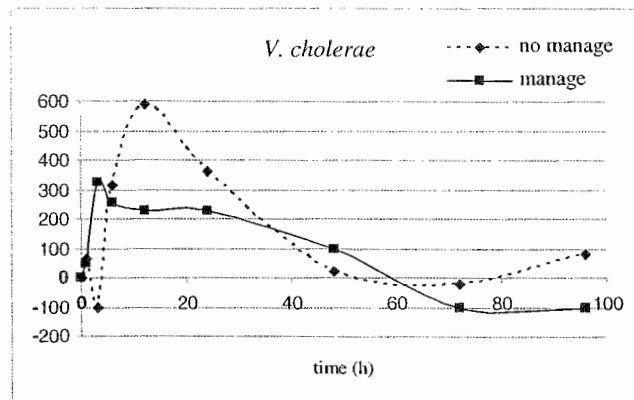


ภาพที่ 4-21 ปริมาณ *V. cholerae* ในรูปของ  $\log$  ในหอยนางรมปักจีบของระบบที่ไม่มีการจัดการกับตะกอนและระบบที่มีการจัดการกับตะกอน

เมื่อนำเอาข้อมูลร้อยละของการเปลี่ยนแปลงปริมาณ *V. cholerae* ทั้งสองระบบ มาทำ การเปรียบเทียบประสิทธิภาพในการลดปริมาณ *V. cholerae* พบว่าอัตราผลร่วมระหว่างระบบและ เวลาที่ทำการศึกษามีผลต่อการเปลี่ยนแปลงปริมาณ *V. cholerae* อย่างมีนัยสำคัญทางสถิติ ( $P<0.05$ ) (ตารางที่ 4-5) และพบว่าเวลาที่ทำการศึกษามีผลต่อการเปลี่ยนแปลงปริมาณ *V. cholerae* กล่าวคือ การเปลี่ยนแปลงปริมาณ *V. cholerae* ในแต่ละระบบ จะมีค่าแตกต่างกันในแต่ละเวลาที่ทำการศึกษา พบว่าในระบบที่มีการจัดการกับตะกอน ไม่มีการเพิ่มขึ้นของ *V. cholerae* และไม่สามารถตรวจพบ ได้ในชั่วโมงที่ 72 เมื่อเทียบกับระบบที่ไม่มีการจัดการกับตะกอน แสดงว่าเมื่อมีการจัดการกับ ตะกอนในระบบ Depuration ทำให้ประสิทธิภาพในการลด *V. cholerae* ในหอยนางรมปักจีบดีขึ้น (ภาพที่ 4-22)

เมื่อทำการเปรียบเทียบร้อยละของการเปลี่ยนแปลงปริมาณ *V. cholerae* ในระบบที่ไม่มี การจัดการกับตะกอน พบว่ามีค่าสูงสุดในชั่วโมงที่ 12, รองลงมาคือชั่วโมงที่ 6 และ 24, และ มีค่าต่ำสุดในชั่วโมงที่ 1, 3, 48, 72 และ 96 โดยค่าเฉลี่ยในกลุ่มเดียวกัน ไม่ต่างกัน

เมื่อทำการเปรียบเทียบร้อยละของการเปลี่ยนแปลงปริมาณ *V. cholerae* ในระบบที่มีการ จัดการกับตะกอน พบว่าการเปลี่ยนแปลงปริมาณ *V. cholerae* ในหอยนางรมปักจีบไม่มีความ แตกต่างกัน

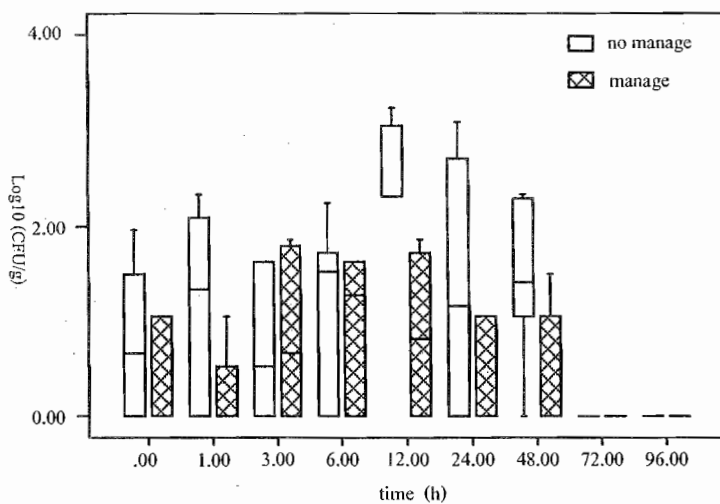


ภาพที่ 4-22 ร้อยละของการเปลี่ยนแปลงปริมาณ *V. cholerae* ในหอยนางรมปากจีบของระบบที่ไม่มีการจัดการกับตะกอนกับระบบที่มีการจัดการกับตะกอน

#### 4.4.1.2 ปริมาณ *V. parahaemolyticus*

ปริมาณ *V. parahaemolyticus* มีค่าเฉลี่ยเริ่มต้นเท่ากับ  $0.04 \times 10^2 \pm 0.55 \times 10^2$  โคลoniต่อกรัมเมื่อนำหอยนางรมปากจีบเข้าระบบ Depuration พบร่วมปริมาณ *V. parahaemolyticus* ในหอยนางรมปากจีบมีการเปลี่ยนแปลงค่อนข้างคงที่และไม่สามารถตรวจพบได้ในช่วงที่ 72 (ภาพที่ 4-23)

เมื่อทำการเปรียบเทียบปริมาณ *V. parahaemolyticus* ในระบบที่มีการจัดการกับตะกอนพบว่าเวลาที่ทำการศึกษาไม่มีผลต่อปริมาณ *V. parahaemolyticus* ในหอยนางรมปากจีบอย่างมีนัยสำคัญทางสถิติ ( $P > 0.05$ ) (ตารางที่ 4-4) โดยพบว่าค่าเฉลี่ย *V. parahaemolyticus* ในหอยนางรมปากจีบในแต่ละเวลาที่ทำการศึกษาไม่มีความแตกต่างกัน

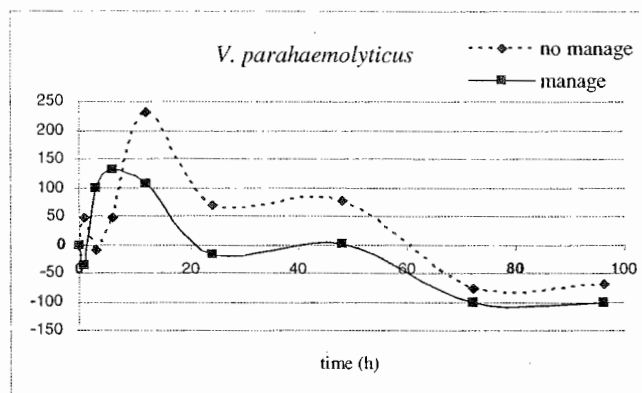


ภาพที่ 4-23 ปริมาณ *V. parahaemolyticus* ในรูปของ log ในหอยนางรมปักจีนของระบบที่ไม่มีการจัดการกับตะกอนกับระบบที่มีการจัดการกับตะกอน

เมื่อนำเอาข้อมูลร้อยละของการเปลี่ยนแปลงปริมาณ *V. parahaemolyticus* ทั้งสองระบบมาทำการเปรียบเทียบประสิทธิภาพในการลดปริมาณ *V. parahaemolyticus* พบว่ามีแต่เวลาที่ทำการศึกษาท่านนี้ที่มีผลต่อการเปลี่ยนแปลงของเชื้อ *V. parahaemolyticus* อย่างมีนัยสำคัญทางสถิติ ( $P<0.05$ ) (ตารางที่ 4-5) กล่าวคือเมื่อเปรียบเทียบในแต่ละชั่วโมงที่ทำการศึกษาพบว่าในระบบที่มีการจัดการกับตะกอน มีแนวโน้มการลดลงเร็วกว่าในระบบที่ไม่มีการจัดการกับตะกอน แสดงว่าเมื่อมีการจัดการกับตะกอนในระบบ Depuration ทำให้ประสิทธิภาพในการลด *V. parahaemolyticus* ในหอยนางรมปักจีนมีแนวโน้มดีขึ้น (ภาพที่ 4-24)

เมื่อทำการเปรียบเทียบร้อยละของการเปลี่ยนแปลงปริมาณ *V. parahaemolyticus* ในระบบที่ไม่มีการจัดการกับตะกอน พบว่ามีค่าสูงสุดในชั่วโมงที่ 1, 6, 12, 24 และ 48 และมีค่าต่ำสุดในคือชั่วโมงที่ 1, 3, 6, 24, 48, 72 และ 96 โดยในชั่วโมงที่ 12 ไม่ต่างจากชั่วโมงที่ 1, 6, 24 และ 48 แต่ต่างจากชั่วโมงที่ 3, 72 และ 96

เมื่อทำการเปรียบเทียบร้อยละของการเปลี่ยนแปลงปริมาณ *V. parahaemolyticus* ในระบบที่มีการจัดการกับตะกอน พบว่าการเปลี่ยนแปลงปริมาณเชื้อ *V. parahaemolyticus* ในหอยนางรมปักจีนในแต่ละเวลาที่ทำการศึกษาไม่มีความแตกต่างกัน



ภาพที่ 4-24 ร้อยละของการเปลี่ยนแปลงปริมาณ *V. parahaemolyticus* ในหอยนางรมปักจีบ  
ของระบบที่ไม่มีการจัดการกับตะกอนกับระบบที่มีการจัดการกับตะกอน

ตารางที่ 4-4 การวิเคราะห์ความแปรปรวน (ANOVA) ปริมาณแบคทีเรียในหอยนางรมปักจีบ  
ของระบบที่ไม่มีการจัดการกับตะกอนกับระบบที่มีการจัดการกับตะกอน

แหล่งของความแปรปรวน	ค่า F	
	<i>V. cholerae</i>	<i>V. parahaemolyticus</i>
ระบบที่ไม่มีการจัดการกับตะกอน	12.533*	3.669*
ระบบที่มีการจัดการกับตะกอน	2.307**	1.864

หมายเหตุ \*P<0.05, \*\*P<0.01

ตารางที่ 4-5 การวิเคราะห์ความแปรปรวน (ANOVA) ของร้อยละการเปลี่ยนแปลงแบคทีเรีย<sup>ในหอยนางรมปักจีบ ประกอบไปด้วย 2 ปัจจัย คือ ระบบ (2)  
และเวลาที่ทำการศึกษา (8)</sup>

แหล่งของความแปรปรวน	df	ค่า F	
		<i>V. cholerae</i>	<i>V. parahaemolyticus</i>
ระบบ	1	0.703	1.028
เวลา	7	5.852*	4.493*
ระบบ * เวลา	7	2.813*	1.110

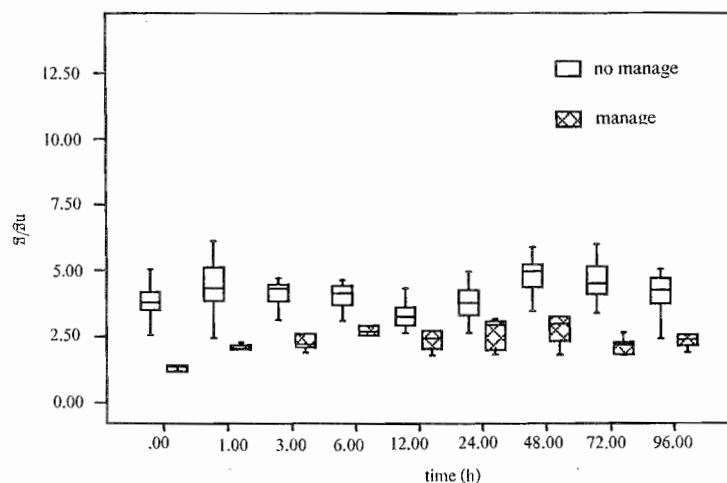
หมายเหตุ \*P<0.05

#### 4.4.2 ปริมาณโลหะหนักในหอยนางรมปากจีน

##### 4.4.2.1 ปริมาณproto

ปริมาณprotoในหอยนางรมปากจีนมีค่าเฉลี่ยเริ่มต้นเท่ากับ  $1.45 \pm 0.41$  นาโนกรัมต่อกรัมน้ำหนักเปียก เมื่อนำหอยนางรมปากจีนเข้าระบบ Depuration พบร่วง proto ในหอยนางรมปากจีนเปลี่ยนแปลงค่อนข้างคงที่จนถึงชั่วโมงที่ 96 โดยค่าเฉลี่ยสุดท้ายเท่ากับ  $2.46 \pm 0.54$  นาโนกรัมต่อกรัมน้ำหนักเปียก (ภาพที่ 4-25)

เมื่อทำการเปรียบเทียบปริมาณprotoในหอยนางรมปากจีนในระบบที่มีการจัดการกับตະกອນ พบร่วงเวลาที่ทำการศึกษาไม่มีผลต่อปริมาณprotoในหอยนางรมปากจีนอย่างมีนัยสำคัญทางสถิติ ( $P > 0.05$ ) (ตารางที่ 4-6) โดยพบว่าค่าเฉลี่ยของปริมาณprotoในหอยนางรมปากจีนไม่มีความแตกต่างกัน

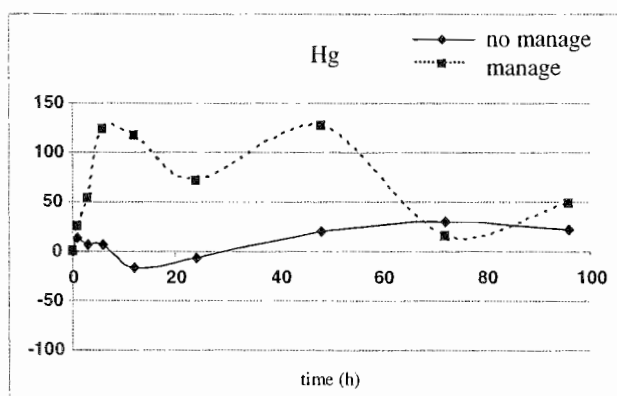


ภาพที่ 4-25 ปริมาณprotoในหอยนางรมปากจีนของระบบที่ไม่มีการจัดการกับตະกອนและระบบที่มีการจัดการกับตະกອน

เมื่อนำเอาข้อมูลร้อยละของการเปลี่ยนแปลงปริมาณprotoทั้งสองระบบ มาทำ การเปรียบเทียบประสิทธิภาพในการลดปริมาณproto พบร่วงprotoร่วมระหว่างระบบและเวลาที่ทำการศึกษามีผลต่อการเปลี่ยนแปลงของprotoอย่างมีนัยสำคัญทางสถิติ ( $P < 0.05$ ) (ตารางที่ 4-7) และพบว่าความแตกต่างของระบบมีผลต่อการเปลี่ยนแปลงปริมาณproto กล่าวคือการเปลี่ยนแปลงของprotoในแต่ละเวลาที่ทำการศึกษา จะมีค่าแตกต่างกันในแต่ละระบบ โดยปริมาณprotoในระบบที่ไม่มีการจัดการกับตະกອนมีการลดลงในช่วงแรกต่างจากระบบที่มีการจัดการกับตະกອนที่มีการเปลี่ยนแปลงปริมาณprotoไม่ต่างกัน (ภาพที่ 4-26)

เมื่อทำการเปรียบเทียบร้อยละของการเปลี่ยนแปลงปริมาณprotoในระบบที่ไม่มีการจัดการกับตะกอน พบว่ามีค่าสูงสุดในชั่วโมงที่ 1, 3, 6, 24, 48, 72 และ 96 และมีค่าต่ำสุดในชั่วโมงที่ 1, 3, 6, 12, 24, 48 และ 96 โดยในชั่วโมงที่ 12 ไม่ต่างจากชั่วโมงที่ 1, 3, 6, 12, 24, 48 และ 96 แต่ต่างจากชั่วโมงที่ 72

เมื่อทำการเปรียบเทียบร้อยละของการเปลี่ยนแปลงปริมาณprotoในระบบที่มีการจัดการกับตะกอน พบว่าการเปลี่ยนแปลงปริมาณprotoในหอยนางรมปักจีบในแต่ละเวลาที่ทำการศึกษา ไม่มีความแตกต่างกัน

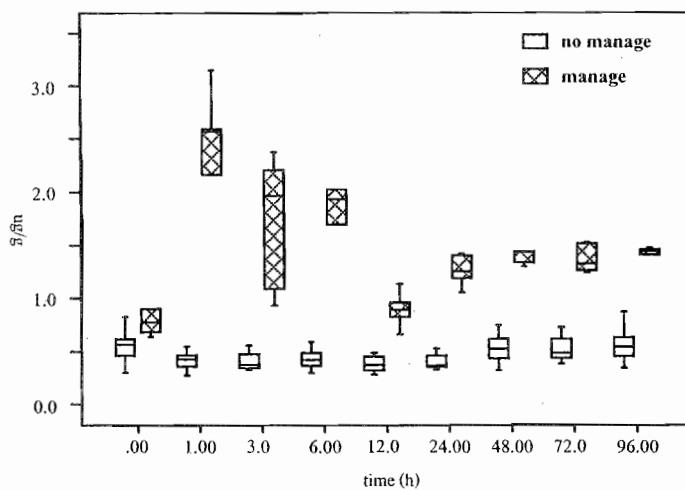


ภาพที่ 4-26 ร้อยละของการเปลี่ยนแปลงปริมาณprotoในหอยนางรมปักจีบของระบบที่ไม่มีการจัดการกับตะกอนและระบบที่มีการจัดการกับตะกอน

#### 4.4.2.2 ปริมาณแอดเมียม

ปริมาณแอดเมียมในหอยนางรมปักจีบมีค่าเฉลี่ยริ่มด้านเท่ากับ  $1.05 \pm 0.67$  ในโครงการน้ำหนักปีก เมื่อนำหอยนางรมปักจีบเข้าระบบ Depuration พบว่าปริมาณแอดเมียมในหอยนางรมปักจีบ มีการเพิ่มขึ้นในชั่วโมงแรก หลังจากนั้นจึงลดลงเรื่อยๆ จนถึงชั่วโมงที่ 12 แล้ว จึงเพิ่มขึ้นอีกในชั่วโมงที่ 24 และมีค่าค่อนข้างคงที่จนถึงชั่วโมงที่ 96 โดยค่าเฉลี่ยสูงที่สุดเท่ากับ  $1.40 \pm 0.09$  ในโครงการน้ำหนักปีก (ภาพที่ 4-27)

เมื่อทำการเปรียบเทียบปริมาณแอดเมียมในหอยนางรมปักจีบในระบบที่มีการจัดการกับตะกอน พบว่าเวลาที่ทำการศึกษามีผลต่อปริมาณปริมาณแอดเมียมในหอยนางรมปักจีบอย่างมีนัยสำคัญทางสถิติ ( $P < 0.05$ ) (ตารางที่ 4-6) โดยพบว่ามีค่าสูงสุดในชั่วโมงที่ 1, 3, 6, 24, 48, 72 และ 96 และมีค่าต่ำสุดในชั่วโมงที่ 0, 3, 6, 12, 24, 48, 72 และ 96 โดยในชั่วโมงที่ 1 ไม่ต่างจากชั่วโมงที่ 3, 6, 24, 48, 72 และ 96 แต่ต่างจากชั่วโมงที่ 0 และ 12

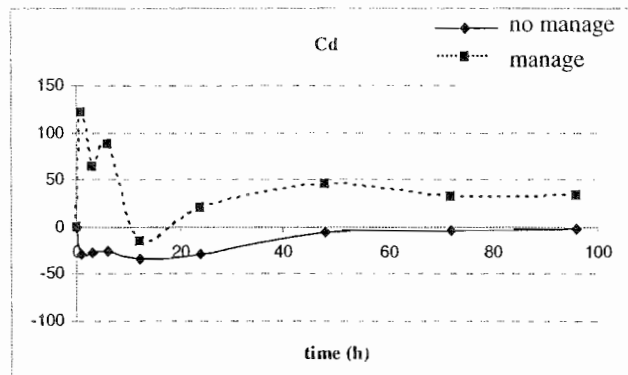


ภาพที่ 4-27 ปริมาณแคดเมียมในหอยนางรมปักจิบของระบบที่ไม่มีการจัดการกับตะกอนและระบบที่มีการจัดการกับตะกอน

เมื่อนำเอาข้อมูลร้อยละของการเปลี่ยนแปลงปริมาณแคดเมียมทั้งสองระบบ มาทำ การเปรียบเทียบประสิทธิภาพในการลดแคดเมียม พบว่าอิทธิพลร่วมระหว่างระบบและเวลาที่ ทำการศึกษา มีผลต่อการเปลี่ยนแปลงของแคดเมียมอย่างมีนัยสำคัญทางสถิติ ( $P<0.05$ ) (ตารางที่ 4-7) กล่าวคือการเปลี่ยนแปลงของแคดเมียมในแต่ละระบบ จะมีค่าแตกต่างกันในแต่ละ เวลาที่ทำการศึกษา โดยในระบบที่ไม่มีการจัดการกับตะกอน มีการเปลี่ยนแปลงค่อนข้างคงที่จนถึง ชั่วโมงที่ 24 แล้วจึงเพิ่มขึ้น ในชั่วโมงที่ 48-96 ส่วนระบบที่มีการจัดการกับตะกอน มีการ เปลี่ยนแปลงค่อนข้างคงที่จนถึงชั่วโมงที่ 6 แล้วจึงลดลงในชั่วโมงที่ 12 หลังจากนั้นจึงมีการเพิ่มขึ้น จนถึงชั่วโมงที่ 96 (ภาพที่ 4-28)

เมื่อทำการเปรียบเทียบร้อยละของการเปลี่ยนแปลงปริมาณแคดเมียมในระบบที่ไม่มี การจัดการกับตะกอน พบว่ามีค่าสูงสุดในชั่วโมงที่ 48, 72 และ 96 และมีค่าต่ำสุดในชั่วโมงที่ 1, 3, 6, 12 และ 24

เมื่อทำการเปรียบเทียบร้อยละของการเปลี่ยนแปลงปริมาณแคดเมียมในระบบที่มีการ จัดการกับตะกอน พบว่ามีค่าสูงสุดในชั่วโมงที่ 1, 3, 6, 48, 72 และ 96, รองลงมาคือชั่วโมงที่ 3, 6, 24, 48, 72 และ 96 และมีค่าต่ำสุดในชั่วโมงที่ 3, 12, 24, 48, 72 และ 96 โดยในชั่วโมงที่ 1 ไม่ต่าง จากชั่วโมงที่ 3, 6, 48, 72 และ 96 แต่ต่างจากชั่วโมงที่ 24 และในชั่วโมงที่ 6 ไม่ต่างจากชั่วโมงที่ 3, 24, 48, 72 และ 96 แต่ต่างจากชั่วโมงที่ 12

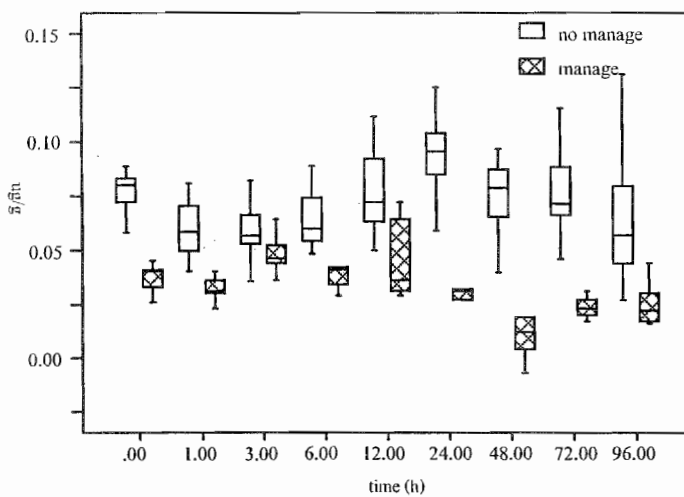


ภาพที่ 4-28 ร้อยละของการเปลี่ยนแปลงปริมาณแคดเมียมในหอยนางรมปักจีบของระบบที่ไม่มีการจัดการกับตะกอนกับระบบที่มีการจัดการกับตะกอน

#### 4.4.2.3 ปริมาณตะกั่ว

ปริมาณตะกั่วในหอยนางรมปักจีบมีค่าเฉลี่ยเริ่มต้นเท่ากับ  $0.04 \pm 0.01$  ในโครงการมต่อกรัมน้ำหนักเปียก เมื่อนำหอยนางรมปักจีบเข้าระบบ Depuration พบร่วงปริมาณตะกั่วในหอยนางรมปักจีบมีการเปลี่ยนแปลงค่อนข้างคงที่จนถึงชั่วโมงที่ 24 แล้วจึงลดลงในชั่วโมงที่ 48 หลังจากนั้นจึงเพิ่มขึ้นอีกจนถึงชั่วโมงที่ 96 โดยค่าเฉลี่ยสุดท้ายเท่ากับ  $0.03 \pm 0.01$  ในโครงการมต่อกรัมน้ำหนักเปียก (ภาพที่ 4-29)

เมื่อทำการเปรียบเทียบปริมาณตะกั่วในหอยนางรมปักจีบในชั้นตอนที่ 4 พบร่วงเวลาที่ทำการศึกษามีผลต่อปริมาณปริมาณแคดเมียมในหอยนางรมปักจีบอย่างมีนัยสำคัญทางสถิติ ( $P < 0.05$ ) (ตารางที่ 4-6) โดยพบว่ามีค่าสูงสุดในชั่วโมงที่ 0, 1, 3, 6, 12, 24, 72 และ 96 และมีค่าต่ำสุดในชั่วโมงที่ 0, 1, 24, 48, 72 และ 96 โดยในชั่วโมงที่ 3, 6 และ 12 ไม่ต่างจากชั่วโมงที่ 0, 1, 24, 72 และ 96 แต่ต่างจากชั่วโมงที่ 48

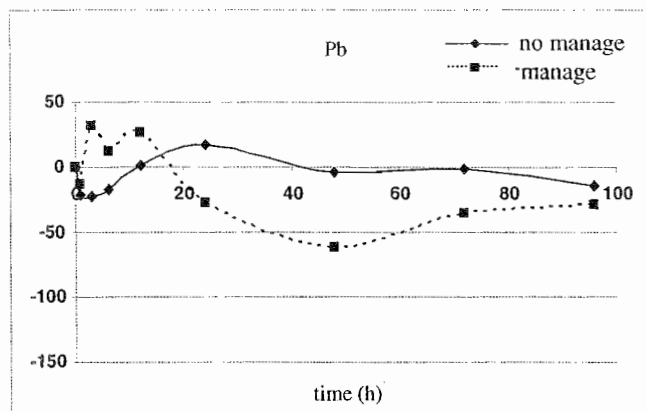


ภาพที่ 4-29 ปริมาณตะกั่วในหอยนางรมปากจีบของระบบที่ไม่มีการจัดการกับตะกอนและระบบที่มีการจัดการกับตะกอน

เมื่อนำเอาข้อมูลร้อยละของการเปลี่ยนแปลงปริมาณตะกั่วทั้งสองระบบ มาทำการเปรียบเทียบประสิทธิภาพในการลดตะกั่ว พบร่วมกันระหว่างระบบและเวลาที่ทำการศึกษา มีผลต่อการเปลี่ยนแปลงของตะกั่วอย่างมีนัยสำคัญทางสถิติ ( $P < 0.05$ ) (ตารางที่ 4-7) และพบว่า ความแตกต่างของระบบไม่มีผลต่อการเปลี่ยนแปลงปริมาณตะกั่ว แต่เวลาที่ทำการศึกษามีผลต่อ การเปลี่ยนแปลงปริมาณตะกั่ว โดยในระบบที่ไม่มีการจัดการกับตะกอนมีลดลงในช่วง 6 ชั่วโมง แรก หลังจากนั้นจึงเพิ่มขึ้น แต่ในระบบที่มีการจัดการกับตะกอนมีการเพิ่มขึ้นก่อน หลังจากนั้นจึง มีการลดลง (ภาพที่ 4-30)

เมื่อทำการเปรียบเทียบร้อยละของการเปลี่ยนแปลงปริมาณตะกั่วในระบบที่ไม่มีการจัดการ กับตะกอน พบร่วมกันค่าสูงสุดในชั่วโมงที่ 12, 24, 48 และ 72 และมีค่าต่ำสุดในชั่วโมงที่ 1, 3, 6, 12, 48, 72 และ 96 โดยในชั่วโมงที่ 24 ไม่ต่างจากชั่วโมงที่ 12, 48, และ 72 แต่ต่างจากชั่วโมงที่ 1, 3, 6, และ 96

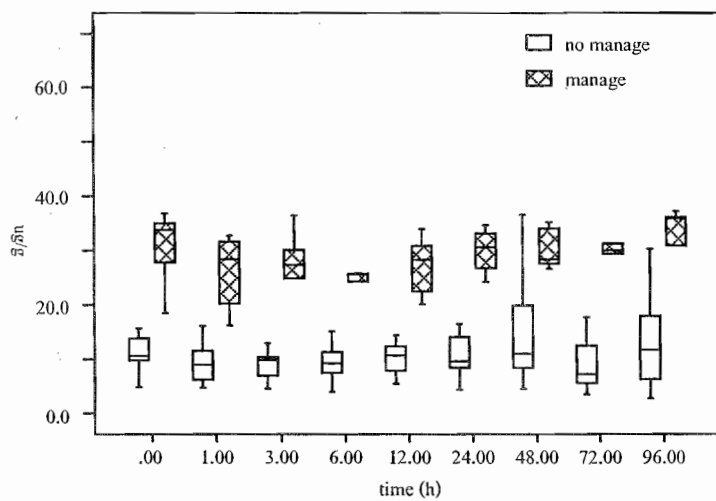
เมื่อทำการเปรียบเทียบร้อยละของการเปลี่ยนแปลงปริมาณตะกั่วในระบบที่มีการจัดการ กับตะกอน พบร่วมกันค่าสูงสุดในชั่วโมงที่ 1, 3, 6, 12, 24, 72 และ 96 และมีค่าต่ำสุดในชั่วโมงที่ 1, 24, 48, 72 และ 96 โดยในชั่วโมงที่ 3, 6, และ 12 ไม่ต่างจากชั่วโมงที่ 1, 24, 72 และ 96 แต่ต่างจาก ชั่วโมงที่ 48



ภาพที่ 4-30 ปริมาณร้อยละของการเปลี่ยนแปลงปริมาณตะกั่วในหอยนางรมปักจีบของระบบที่ไม่มีการจัดการกับตะกอนกับระบบที่มีการจัดการกับตะกอน

#### 4.4.2.4 ปริมาณทองแดง

ปริมาณทองแดงในหอยนางรมปักจีบมีค่าเฉลี่ยเริ่มต้นเท่ากับ  $30.29 \pm 7.44$  ในโครงการนี้ต่อกรัมน้ำหนักเปียก เมื่อนำหอยนางรมปักจีบเข้าระบบ Depuration พบร่วมกับปริมาณทองแดงในหอยนางรมปักจีบมีการลดลงในช่วงแรก หลังจากนั้นจึงเพิ่มขึ้นแล้วค่อยๆ ลดลงที่จุดสูงที่ 96 โดยค่าเฉลี่ยสุดท้ายเท่ากับ  $31.25 \pm 8.41$  ในโครงการนี้ต่อกรัมน้ำหนักเปียก (ภาพที่ 4-31) เมื่อทำการเปรียบเทียบปริมาณทองแดงในหอยนางรมปักจีบในระบบที่มีการจัดการกับตะกอน พบร่วมกับเวลาที่ทำการศึกษาไม่มีผลต่อปริมาณปริมาณทองแดงในหอยนางรมปักจีบอย่างมีนัยสำคัญทางสถิติ ( $P > 0.05$ ) (ตารางที่ 4-6) โดยพบว่าค่าเฉลี่ยของปริมาณทองแดงในหอยนางรมปักจีบในแต่ละเวลาที่ทำการศึกษาไม่มีความแตกต่างกัน

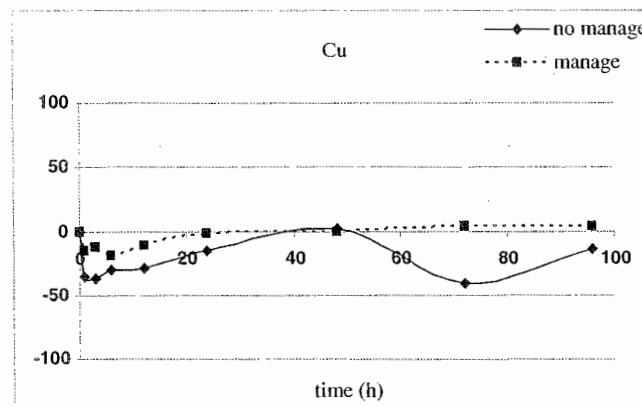


ภาพที่ 4-31 ปริมาณทองแดงในหอยนางรมปักจีนของระบบที่ไม่มีการจัดการกับตะกอนและระบบที่ไม่มีการจัดการกับตะกอน

เมื่อนำเข้าข้อมูลร้อยละของการเปลี่ยนแปลงปริมาณทองแดงในหอยนางรมปักจีบทั้งสองระบบ มาเปรียบเทียบประสิทธิภาพในการลดปริมาณทองแดง พบร่วมมีแต่ความแตกต่างของระบบเท่านั้นที่มีผลต่อการเปลี่ยนแปลงของทองแดงอย่างมีนัยสำคัญทางสถิติ ( $P<0.05$ ) (ตารางที่ 4-7) โดยในระบบที่ไม่มีการจัดการกับตะกอนมีแนวโน้มการลดลงคึกคักกว่าระบบที่มีการจัดการกับตะกอน (ภาพที่ 4-32)

เมื่อทำการเปรียบเทียบร้อยละของการเปลี่ยนแปลงปริมาณทองแดงในระบบที่ไม่มีการจัดการกับตะกอน พบร่วมกันว่าการเปลี่ยนแปลงปริมาณทองแดงในหอยนางรมปักจีนในแต่ละเวลาที่ทำการศึกษาไม่มีความแตกต่างกัน

เมื่อทำการเปรียบเทียบร้อยละของการเปลี่ยนแปลงปริมาณทองแดงในระบบที่มีการจัดการกับตะกอน พบร่วมกันว่าการเปลี่ยนแปลงปริมาณทองแดงในหอยนางรมปักจีนในแต่ละเวลาที่ทำการศึกษาไม่มีความแตกต่างกัน

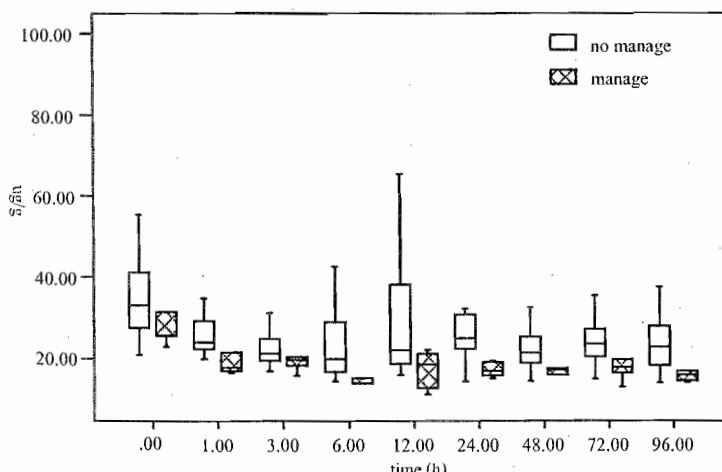


ภาพที่ 4-32 ร้อยละของการเปลี่ยนแปลงปริมาณทองแดงในหอยนางรมปักจีบของระบบ  
ที่ไม่มีการจัดการกับตะกอนกับระบบที่มีการจัดการกับตะกอน

#### 4.4.2.5 ปริมาณเหล็ก

ปริมาณเหล็กในหอยนางรมปักจีบมีค่าเฉลี่ยเริ่มต้นเท่ากับ  $30.30 \pm 9.34$  ในโครงการนั้นน้ำหนักเปียก เมื่อนำหอยนางรมปักจีบเข้าระบบ Depuration พบร่วมกับปริมาณเหล็กในหอยนางรมปักจีบมีการลดลงตั้งแต่ชั่วโมงที่ 1 หลังจากนั้นมีค่าค่อนข้างคงที่จนถึงชั่วโมงที่ 96 โดยค่าเฉลี่ยสุดท้ายเท่ากับ  $16.44 \pm 2.54$  ในโครงการนั้นน้ำหนักเปียก (ภาพที่ 4-33)

เมื่อทำการเปรียบเทียบปริมาณเหล็กในหอยนางรมปักจีบในระบบที่มีการจัดการกับตะกอน พบร่วมกับเวลาที่ทำการศึกษามีผลต่อปริมาณปริมาณเหล็กในหอยนางรมปักจีบอย่างมีนัยสำคัญทางสถิติ ( $P < 0.05$ ) (ตารางที่ 4-6) โดยพบว่ามีค่าสูงสุดในชั่วโมงที่ 0 และมีค่าต่ำสุดในชั่วโมงที่ 1, 3, 6, 12, 24, 48, 72 และ 96 โดยค่าเฉลี่ยในกลุ่มเดียวกันไม่ต่างกัน

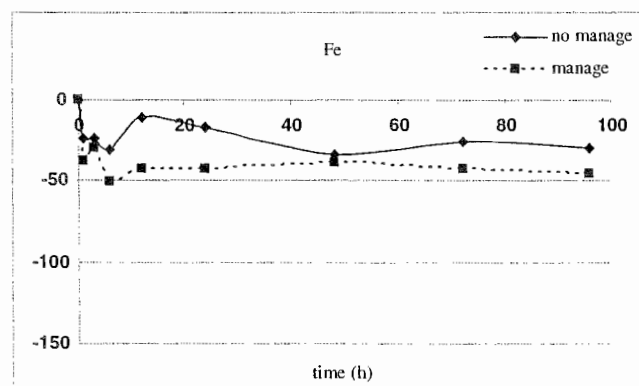


ภาพที่ 4-33 ปริมาณของเหล็กในหอยนางรมปักจีบของระบบที่ไม่มีการจัดการกับตะกอนกับระบบที่มีการจัดการกับตะกอน

เมื่อนำเอาข้อมูลร้อยละของการเปลี่ยนแปลงปริมาณเหล็กในหอยนางรมปักจีนทั้งสองระบบ มาเปรียบเทียบประสิทธิภาพในการลดปริมาณเหล็ก พบว่ามีเดคความแตกต่างของระบบ เท่านั้นที่มีผลต่อการเปลี่ยนแปลงของเหล็กอย่างมีนัยสำคัญทางสถิติ ( $P<0.05$ ) (ตารางที่ 4-7) โดย พบว่าในระบบที่มีการจัดการกับตะกอนมีแนวโน้มลดลงดีกว่าระบบที่ไม่มีการจัดการกับตะกอน (ภาพที่ 4-34)

เมื่อทำการเปรียบเทียบร้อยละของการเปลี่ยนแปลงปริมาณเหล็กในระบบที่ไม่มีการ จัดการกับตะกอน พบว่าการเปลี่ยนแปลงปริมาณเหล็กในหอยนางรมปักจีนในแต่ละเวลาที่ ทำการศึกษา ไม่มีความแตกต่างกัน

เมื่อทำการเปรียบเทียบร้อยละของการเปลี่ยนแปลงปริมาณเหล็กในระบบที่มีการจัดการ กับตะกอน พบว่าการเปลี่ยนแปลงปริมาณเหล็กในหอยนางรมปักจีนในแต่ละเวลาที่ทำการศึกษา ไม่มีความแตกต่างกัน

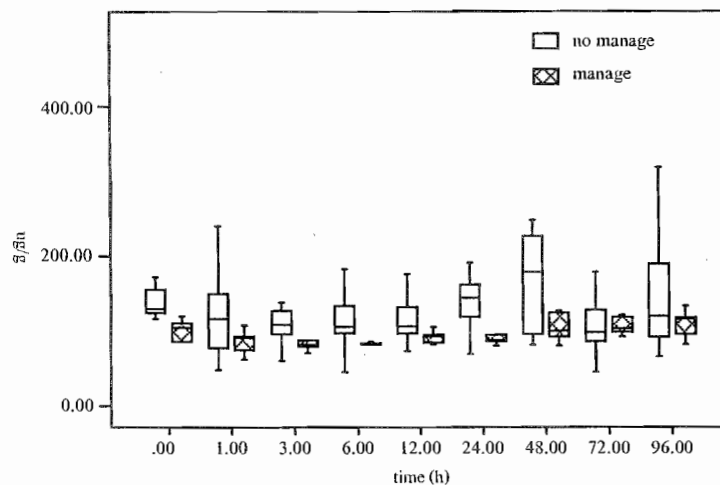


ภาพที่ 4-34 ร้อยละของการเปลี่ยนแปลงปริมาณเหล็กในหอยนางรมปักจีนของระบบที่ไม่มี การจัดการกับตะกอนกับระบบที่มีการจัดการกับตะกอน

#### 4.4.2.6 ปริมาณสังกะสี

ปริมาณสังกะสีในหอยนางรมปักจีนมีค่าเฉลี่ยเริ่มต้นเท่ากับ  $93.46 \pm 29.69$  ในโครงการมต่อกรัมน้ำหนักเปียก เมื่อนำหอยนางรมปักจีนเข้าระบบ Depuration พบว่าปริมาณ สังกะสีในหอยนางรมปักจีนมีการลดลงใน 6 ชั่วโมงแรก หลังจากนั้นจึงเพิ่มขึ้นแล้วลดลงอีกครั้ง โดยค่าเฉลี่ยสุดท้ายเท่ากับ  $109.33 \pm 20.21$  ในโครงการมต่อกรัมน้ำหนักเปียก (ภาพที่ 4-35)

เมื่อทำการเปรียบเทียบปริมาณสังกะสีในหอยนางรมปักจึ้นในระบบที่มีการจัดการกับตะกอน พบร่วมเวลาที่ทำการศึกษาไม่มีผลต่อปริมาณสังกะสีในหอยนางรมปักจึ้นอย่างมีนัยสำคัญทางสถิติ ( $P>0.05$ ) (ตารางที่ 4-6) โดยพบว่าค่าเฉลี่ยของปริมาณสังกะสีในหอยนางรมปักจึ้นในแต่ละเวลาที่ทำการศึกษาไม่มีความแตกต่างกัน

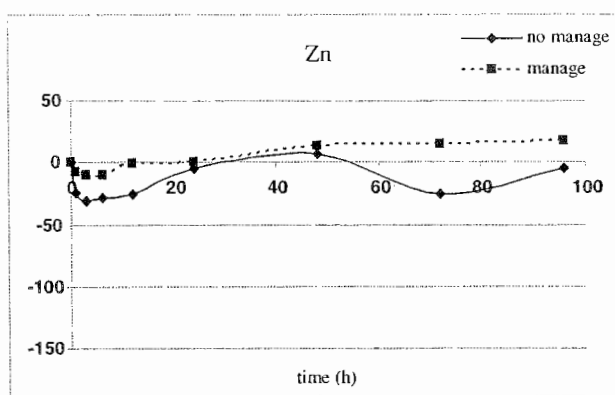


ภาพที่ 4-35 ปริมาณสังกะสีในหอยนางรมปักจึ้นของระบบที่ไม่มีการจัดการกับตะกอน กับระบบที่มีการจัดการกับตะกอน

เมื่อนำเอาข้อมูลร้อยละของการเปลี่ยนแปลงปริมาณสังกะสีในหอยนางรมปักจึ้บทั้งสองระบบมาเปรียบเทียบประสิทธิภาพในการลดปริมาณสังกะสี พบร่วมมีแต่ความแตกต่างของระบบเท่านั้นที่มีผลต่อการเปลี่ยนแปลงของสังกะสีอย่างมีนัยสำคัญยิ่งทางสถิติ ( $P<0.01$ ) (ตารางที่ 4-7) โดยพบว่าระบบที่ไม่มีการจัดการกับตะกอนมีแนวโน้มการลดลงดีกว่าระบบที่มีการจัดการกับตะกอน (ภาพที่ 4-36)

เมื่อทำการเปรียบเทียบร้อยละของการเปลี่ยนแปลงปริมาณสังกะสีในระบบที่ไม่มีการจัดการกับตะกอน พบร่วมกับการเปลี่ยนแปลงปริมาณสังกะสีในหอยนางรมปักจึ้นในแต่ละเวลาที่ทำการศึกษาไม่มีความแตกต่างกัน

เมื่อทำการเปรียบเทียบร้อยละของการเปลี่ยนแปลงปริมาณสังกะสีในระบบที่มีการจัดการกับตะกอน พบร่วมกับการเปลี่ยนแปลงปริมาณสังกะสีในหอยนางรมปักจึ้นในแต่ละเวลาที่ทำการศึกษาไม่มีความแตกต่างกัน



ภาพที่ 4-36 ร้อยละของการเปลี่ยนแปลงปริมาณสังกะสีในหอยนางรมปักจีนของระบบที่ไม่มีการจัดการกับตะกอนกับระบบที่มีการจัดการกับตะกอน

ตารางที่ 4-6 การวิเคราะห์ความแปรปรวน (ANOVA) ของปริมาณโลหะหนักในหอยนางรมปักจีนในระบบที่ไม่มีการจัดการกับตะกอนกับระบบที่มีการจัดการกับตะกอน

แหล่งของความแปรปรวน	ค่า F					
	Hg	Cd	Pb	Cu	Fe	Zn
ไม่มีการจัดการตะกอน	2.778*	6.305*	3.790*	1.527	1.541	2.337
มีการจัดการตะกอน	1.563	3.419*	4.338*	0.849	4.120*	1.740

หมายเหตุ \*P<0.05

ตารางที่ 4-7 การวิเคราะห์ความแปรปรวน (ANOVA) ของร้อยละการเปลี่ยนแปลงโลหะหนักในหอยนางรมปักจีน ประกอบไปด้วย 2 ปัจจัย คือ ระบบ (2) และเวลาที่ทำการศึกษา (8)

แหล่งของความแปรปรวน	df	ค่า F					
		Hg	Cd	Pb	Cu	Fe	Zn
ระบบ	1	44.029*	157.152*	0.849	7.542*	8.711*	13.183**
เวลา	7	2.184*	7.621*	4.335*	1.077	0.416	2.293
ระบบ * เวลา	7	4.003*	8.821*	7.169*	0.46	0.339	0.536

หมายเหตุ \*P<0.05, \*\*P<0.01